



Toho University



Kobayashi-Maskawa Institute
for the Origin of Particles and the Universe

鉱物試料に形成された粒子飛跡と地球年代 スケールでの宇宙線研究

Study for Cosmic-ray with Geological Time scale by the
Ancient Mineral as the Paleo Detector

Tatsuhiko NAKA
Toho University
(KMI, Nagoya University)

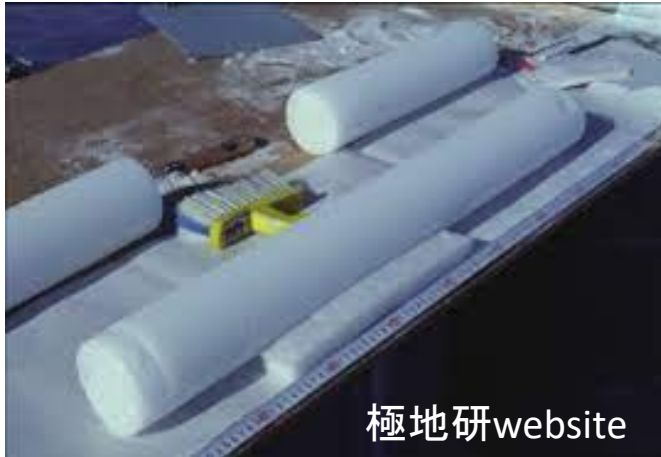
地下から解き明かす
宇宙の歴史と物質の進化



原子核乾板を用いた暗黒物質の
方向感度探索実験

地質学試料に残った宇宙線の痕跡

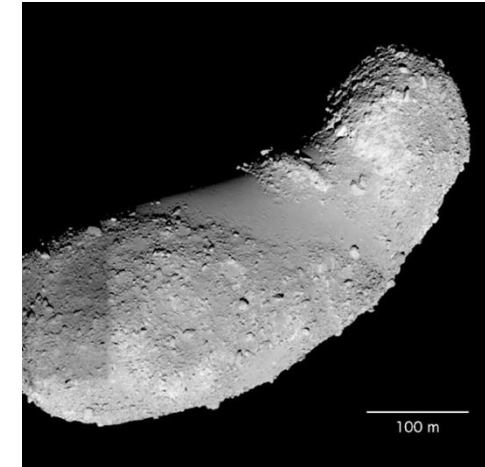
アイスコア



樹木



小惑星・月面サンプル



成分分析・放射化学分析

+

放射線計測による分析 (エネルギー)

鉱物 (Ancient Minerals)



Geologic time scale
> O(100) M year

この中に宇宙線の情報が記録されているのであれば、数億年スケールの観測を行った検出器となる

Contents

■ Galactic CC SN neutrino

■ Dark Matter

- WIMP

- composite DM (Ultra-heavy DM)

■ Ultra-heavy cosmic-ray



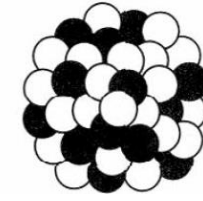
My main targets

Mineral as tracking detector

Fission tracks in the Zircon



^{238}U



Spontaneous fission

半減期: 約45 億年
崩壊確率: $5.5 \times 10^{-5} \%$

Mean atomic
number : 140



Mean atomic
number : 90



$$\text{Fission track density} = \lambda \times n \text{ (density of U)} \times T \text{ (date)}$$

e.g., In case of 1 ppm U contamination and 1 G year
Fission track density $\sim 10^8$ S.F. /g

Detection model

Ion explosion model

(R.L. Fleischer, P. B. Price, R.M.Walker *et al.*)

$$F_c = \frac{n^2 e^2}{\epsilon a_0^4} > \sigma_{tens.} \cong \frac{E}{10}$$

↑
抗張力

a_0 : atomic distance
 ϵ : dielectric constant
 E : Young's modulus

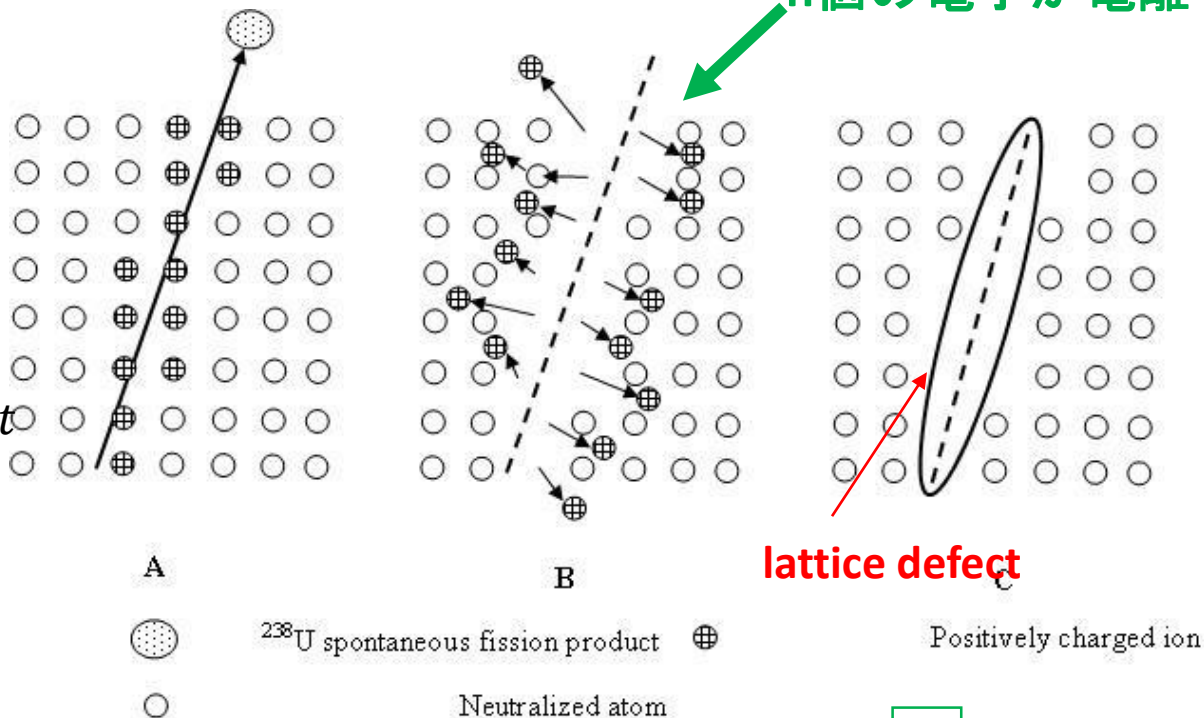
$$n^2 > \frac{E \epsilon a_0^4}{10 e^2} \equiv R$$

$$n = n(J)$$

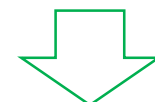
電離した電子数が一次イオン化率に依存する

Primary specific ionization rate
 (一次イオン化率)

$$J = \frac{dI}{dt} = \left(\frac{\alpha Z_1^2}{I_0 \beta^2} \right) \left[\ln \left\{ \frac{2m_e c^2 \beta^2}{(1 - \beta^2) I_0} \right\} - \beta^2 + 3.04 \right]$$



lattice defect



化学エッチング処理で拡大し、顕微鏡観察

TABLE III. The ratio of the mechanical stress to the electrostatic stress in various materials.

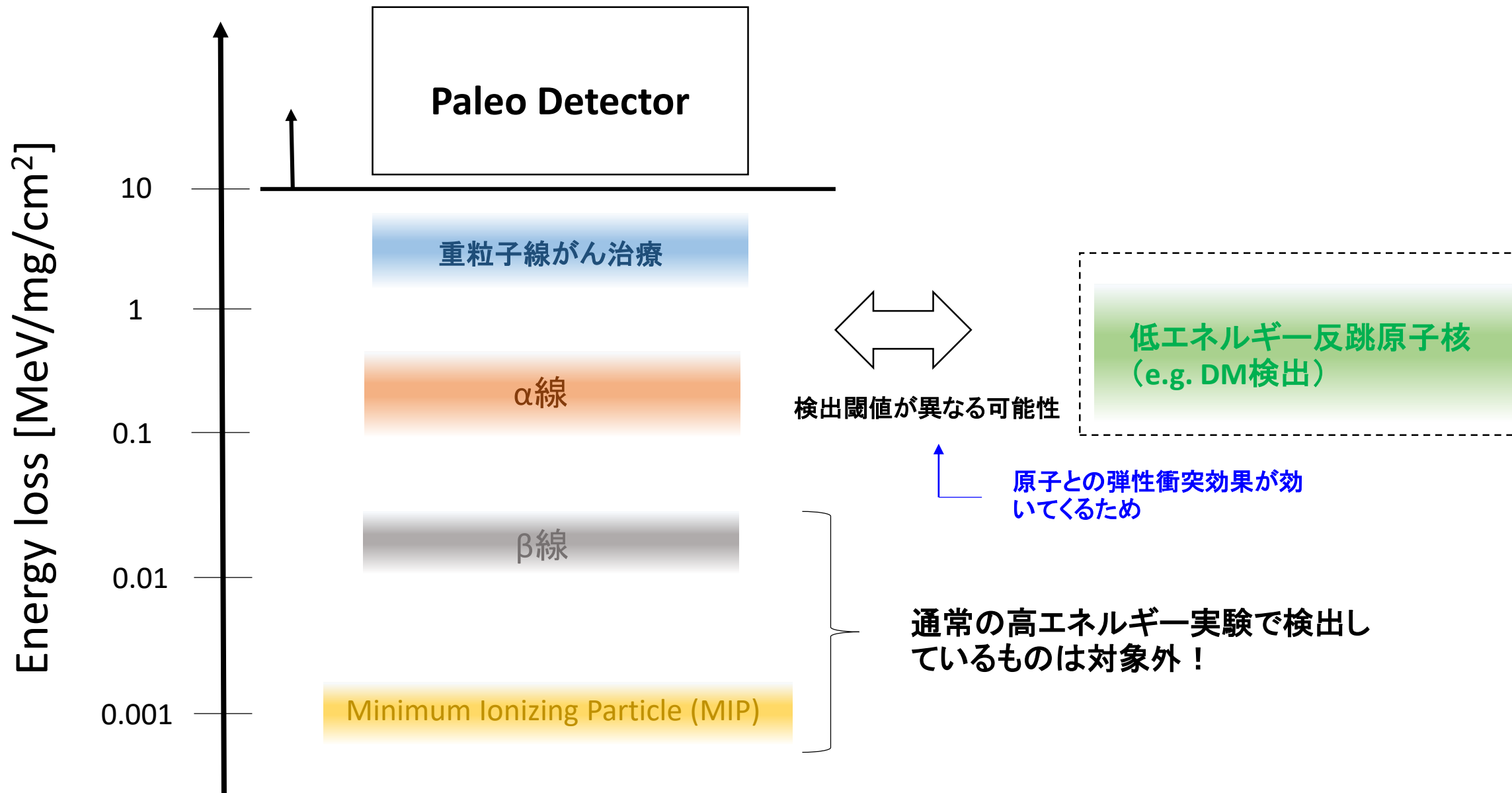
Material ^a	$R(\pm 50\%)^a$	$R_h(\pm 50\%)^a$	$E(10^{11} \text{ cgs})$	Knoop hardness (10^{10} cgs)	Dielectric constant	Specific gravity	Composition
Olivine	2.6	1.7	10.3 ^c	7.0 ⁱ	20 ^j	3.32 ⁱ	MgFeSiO ₄
Hypersthene	...	1.2	...	3.9 ⁱ	32 ^j	3.45 ⁱ	Mg _{1.5} Fe _{0.5} Si ₂ O ₆
Laboradorite	1.9	1.2	6.7-8.3 ^{c,d}	5.0 ⁱ	20 ^j	2.71 ⁱ	Na ₂ Ca ₃ Al ₈ Si ₁₂ O ₄₀
Zircon	...	1.3	...	10.0 ⁱ	12 ^{l,h}	4.68 ⁱ	ZrSiO ₄
Phosphate glass	...	0.4	...	2.8 ^j	14 ^j	3.1 ^j	63P ₂ O ₅ :11UO ₂ :8Al ₂ O ₃ :9Ag ₂ O:9K ₂ O
Soda lime glass	1.0	0.4	7.0-7.8 ^{e,c}	3.2 ^e	9 ^j	2.49 ^e	67SiO ₂ :14Na ₂ O:14CaO:5Al ₂ O ₃
Tektite glass	0.7	0.3	7.0 ^{e,c}	3.4 ^j	6.4 ^m	2.43 ^p	74SiO ₂ :12Al ₂ O ₃ :4FeO+others ^p
Orthoclase	...	0.4	...	5.0 ⁱ	4.8 ^j	2.57 ⁱ	KAlSi ₃ O ₈
Quartz	0.5	0.5	7.9-10.2 ^c	8.0 ⁱ	4.7 ^c	2.65 ⁱ	SiO ₂
Phlogopite mica	...	0.06	...	0.90 ⁱ	5-7 ^{c,n}	2.86 ⁱ	KMg ₂ Al ₂ Si ₃ O ₁₀ (OH) ₂
Muscovite mica	...	0.03	...	0.45 ⁱ	5.7-8.7 ^{c,n}	2.93 ⁱ	KAl ₃ Si ₃ O ₁₀ (OH) ₂

Polyethylene terephthalate (Mylar)	0.02	...	0.45 ^f	...	3-6 ^f	1.35 ^f	C ₁₉ H ₁₆ O ₇
Bisphenol-A polycarbonate (Lexan)	0.007	0.008	0.22 ^g	0.25 ^k	3.1 ^g	1.20 ^g	C ₁₆ H ₁₄ O ₃
HBpaIT polyester	0.013 ^b	0.014 ^b	4 ^o	1.4 ^o	C ₁₇ H ₉ O ₂
Cellulose acetate butyrate	0.009	0.009	0.04-0.24 ^{f,h}	0.20 ^k	3.2-6.4 ^h	1.22 ^f	C ₂₀ H ₃₂ O ₅
Cellulose nitrate	0.02	0.02	0.1-0.3 ^{f,h}	0.25 ^k	6-8 ^{f,h}	1.33 ^r	C ₆ H ₃ O ₉ N ₂

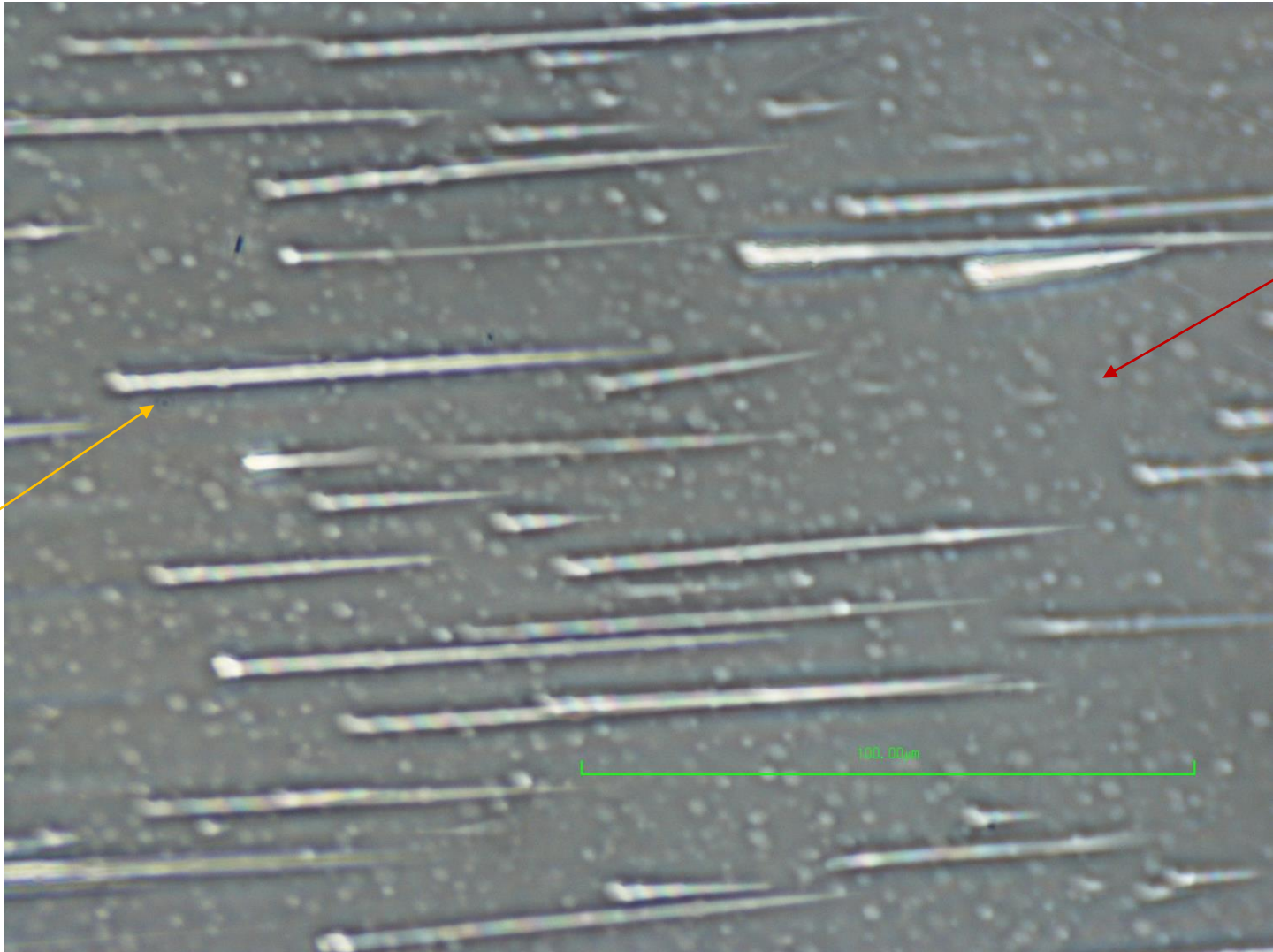
^a Unit charge assumed on adjacent ions.

高速度粒子 ($\beta > \sim 10^{-2}$)

低速度粒子 ($\beta < \sim 10^{-3}$)



Phase contrast optical microscope image of Fe ion beam (500 MeV/u)
[HF 20°C, 80 min etching]



Fe ion track

α -recoil track due to ^{238}U

Mineral Detection of Neutrinos and Dark Matter. A Whitepaper

Sebastian Baum,¹ Patrick Stengel;² Natsue Abe,³ Javier F. Acevedo,⁴
 Gabriela R. Araujo,^{5,a} Yoshihiro Asahara,⁶ Frank Avignone,⁷ Levente Balogh,⁸
 Laura Baudis,⁵ Yilda Boukhtouchen,⁹ Joseph Bramante,^{9,10} Pieter Alexander Breur,⁴
 Lorenzo Caccianiga,¹¹ Francesco Capozzi,¹² Juan I. Collar,¹³ Reza Ebadi,^{14,15}
 Thomas Edwards,¹⁶ Klaus Eitel,¹⁷ Alexey Elykov,¹⁷ Rodney C. Ewing,¹⁸
 Katherine Freese,^{19,20} Audrey Fung,⁹ Claudio Galelli,²¹ Ulrich A. Glasmacher,²²
 Arianna Gleason,⁴ Noriko Hasebe,²³ Shigenobu Hirose,²⁴ Shunsaku Horiuchi,^{25,26}
 Yasushi Hoshino,²⁷ Patrick Huber,^{25,a} Yuki Ido,²⁸ Yohei Igami,²⁹ Norito Ishikawa,³⁰
 Yoshitaka Itow,³¹ Takashi Kamiyama,³² Takenori Kato,³¹ Bradley J. Kavanagh,³³
 Yoji Kawamura,²⁴ Shingo Kazama,³⁴ Christopher J. Kenney,⁴ Ben Kilminster,⁵
 Yui Kouketsu,⁶ Yukiko Kozaka,³⁵ Noah A. Kurinsky,^{4,36} Matthew Leybourne,⁹
 Thalles Lucas,⁹ William F. McDonough,^{37,38,39} Mason C. Marshall,^{15,40}
 Jose Maria Mateos,⁴¹ Anubhav Mathur,¹⁶ Katsuyoshi Michibayashi,⁶
 Charlotte Mkhonto,⁹ Kohta Murase,^{42,43,44} Tatsuhiro Naka,²⁸ Kenji Oguni,²⁴
 Surjeet Rajendran,¹⁶ Hitoshi Sakane,⁴⁵ Paola Sala,¹¹ Kate Scholberg,⁴⁶
 Ingrida Semeneč,⁹ Takuya Shiraishi,²⁸ Joshua Spitz,⁴⁷ Kai Sun,⁴⁸ Katsuhiko Suzuki,⁴⁹
 Erwin H. Tanin,¹⁶ Aaron Vincent,⁹ Nikita Vladimirov,⁵⁰ Ronald L. Walsworth,^{14,15,40}
 and Hiroko Watanabe³⁷

¹ *Stanford Institute for Theoretical Physics, Department of Physics, Stanford University, Stanford, CA 94305, USA*

² *Istituto Nazionale di Fisica Nucleare, Sezione di Ferrara, via Giuseppe Saragat 1, I-44122 Ferrara, Italy*

³ *Mantle Drilling Promotion Office, Japan Agency for Marine-Earth Science and Technology (JAM-*

Mineral Detection of Neutrinos and Dark Matter

Jan 8 – 11, 2024
US/Eastern timezone

Enter your search term



Overview

Call for Abstracts

Timetable

Contribution List

My Conference

My Contributions

Book of Abstracts

Registration

Participant List

Timetable

< Mon 08/01 Tue 09/01 Wed 10/01 Thu 11/01 All days >

Print

PDF

Full screen

Detailed view

Filter

10:00	Welcome	Sebastian Baum et al.
		10:05 - 10:15
	Mineral Detectors for Dark Matter - overview	Patrick Stengel
11:00	Coff	
	Pale	
12:00	Lun	



2023, 2024と2度開催

2025年は日本開催
@海洋研究開発機構
(JAMSTEC)

For Neutrino Detection

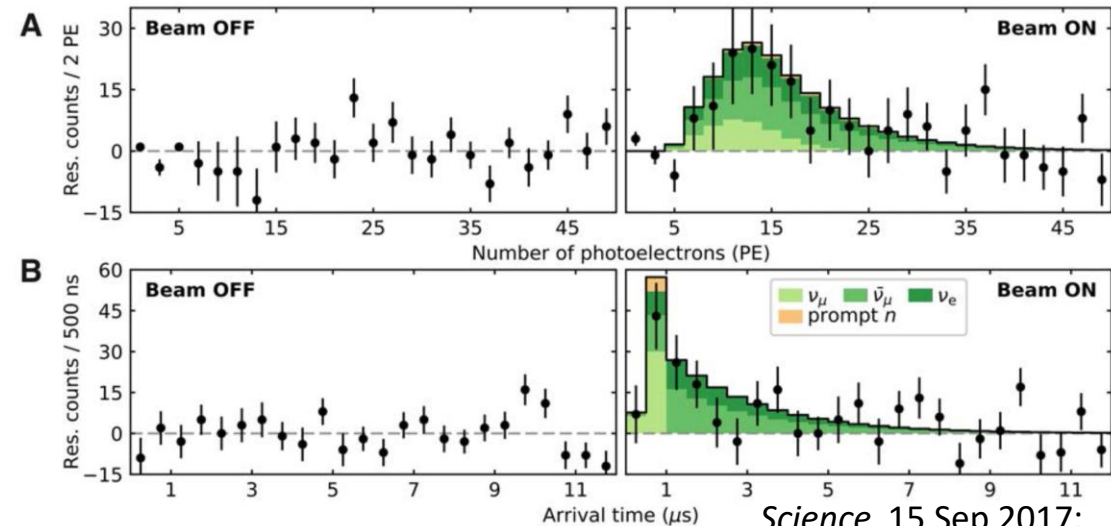
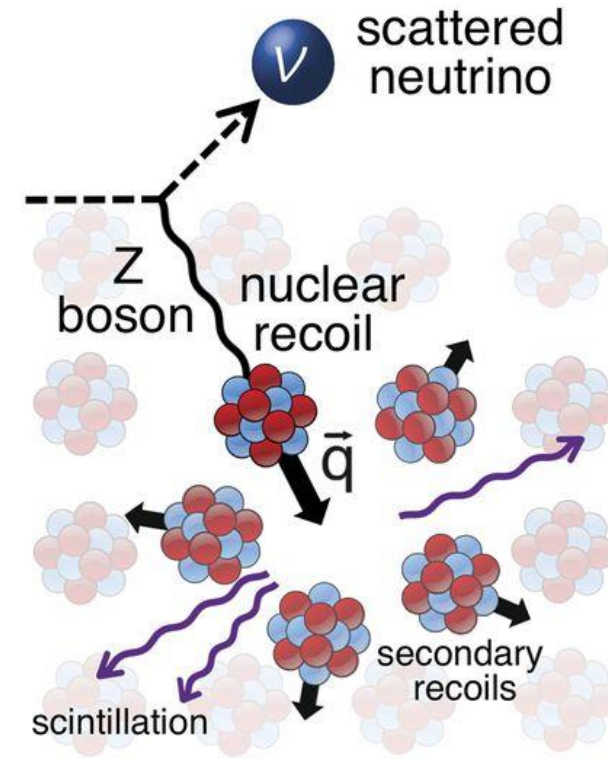
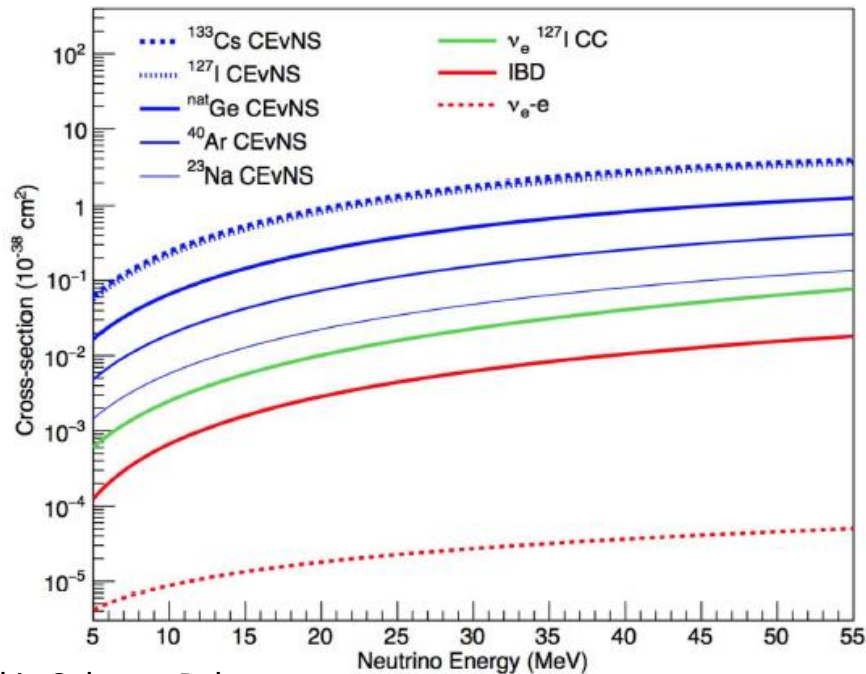
Neutrino coherent scattering

Neutrino coherent scattering is predicted in the standard model.

$$\frac{d\sigma}{dE_r} = \frac{G_F^2}{4\pi^2} (N - (1 - 4\sin^2\theta_W)Z)^2 m_N \left(1 - \frac{m_N E_r}{2E_\nu^2}\right) \pi r^2 F^2(E_r)$$

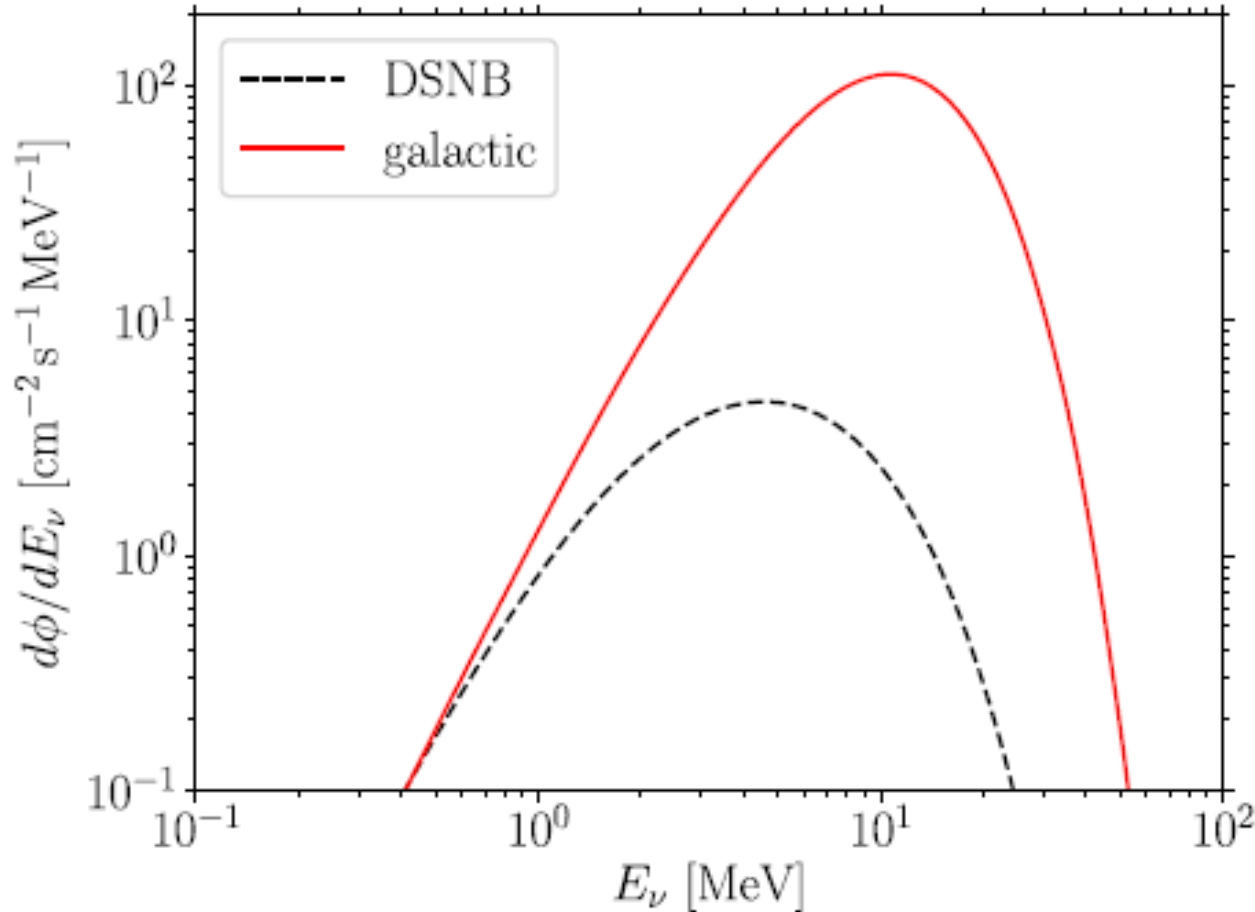
$\propto N^2$ N: number of neutrons

Cross section



Science 15 Sep 2017:

Neutrino Flux from Galactic Core Collapse(CC) Super Novae



Galactic Core Collapse Super Novae rate : $2.3 \times 10^{-2} \text{ yr}^{-1}$

S. Baum *et al.*, Phys. Rev. D. 101,
103017(2020)

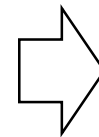
- **Diffused SN Background(DSNB)**
→ flux input from J.F. Beacom (2010)

- **Galactic CC SN**

$$\left(\frac{d\phi}{dE_\nu}\right)^{\text{gal}} = \dot{N}_{\text{CC}}^{\text{gal}} \frac{dn}{dE_\nu} \int_0^\infty dR_E \frac{f(R_E)}{4\pi R_E^2},$$

TABLE I. Parameters of the neutrino spectra, Eq. (1), for electron neutrinos, antielectron neutrinos, and $\nu_x \equiv \{\nu_\mu, \nu_{\bar{\mu}}, \nu_\tau, \nu_{\bar{\tau}}\}$ used in our numerical calculations [75].

ν	E_ν^{tot} (erg)	$\langle E_\nu \rangle$ (MeV)	α
ν_e	6×10^{52}	13.3	3.0
$\nu_{\bar{e}}$	4.3×10^{52}	14.6	3.3
ν_x	2×10^{52}	15	3



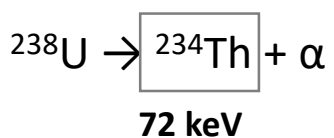
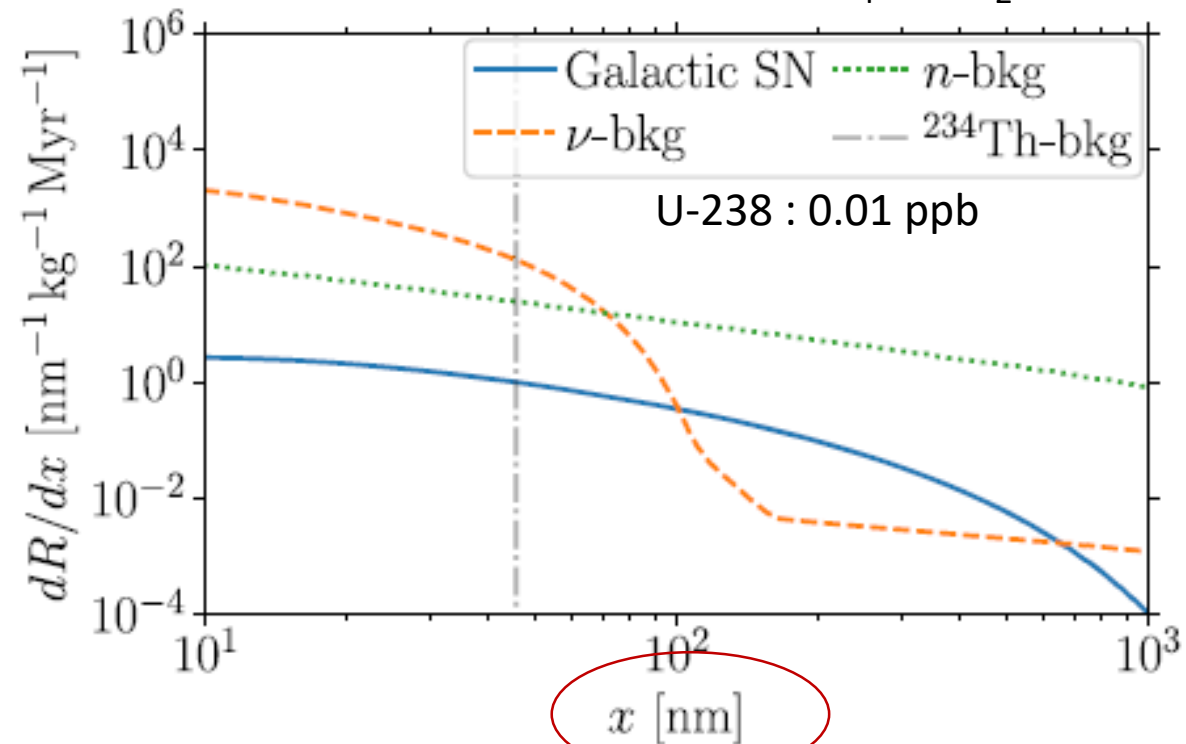
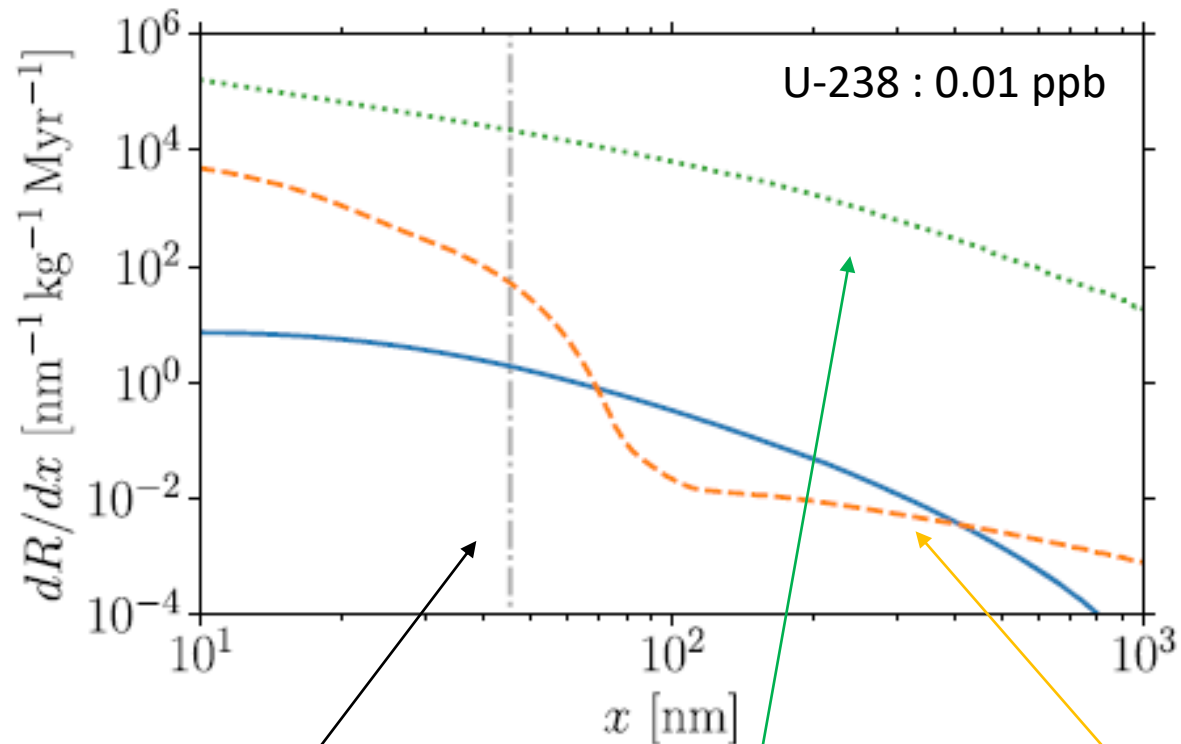
原子核のコヒーレント散乱
反跳エネルギー: 10~100keV



Halite(岩塩) [NaCl]



Epsomite (瀉利塩) [Mg(SO₄)·7(H₂O)]

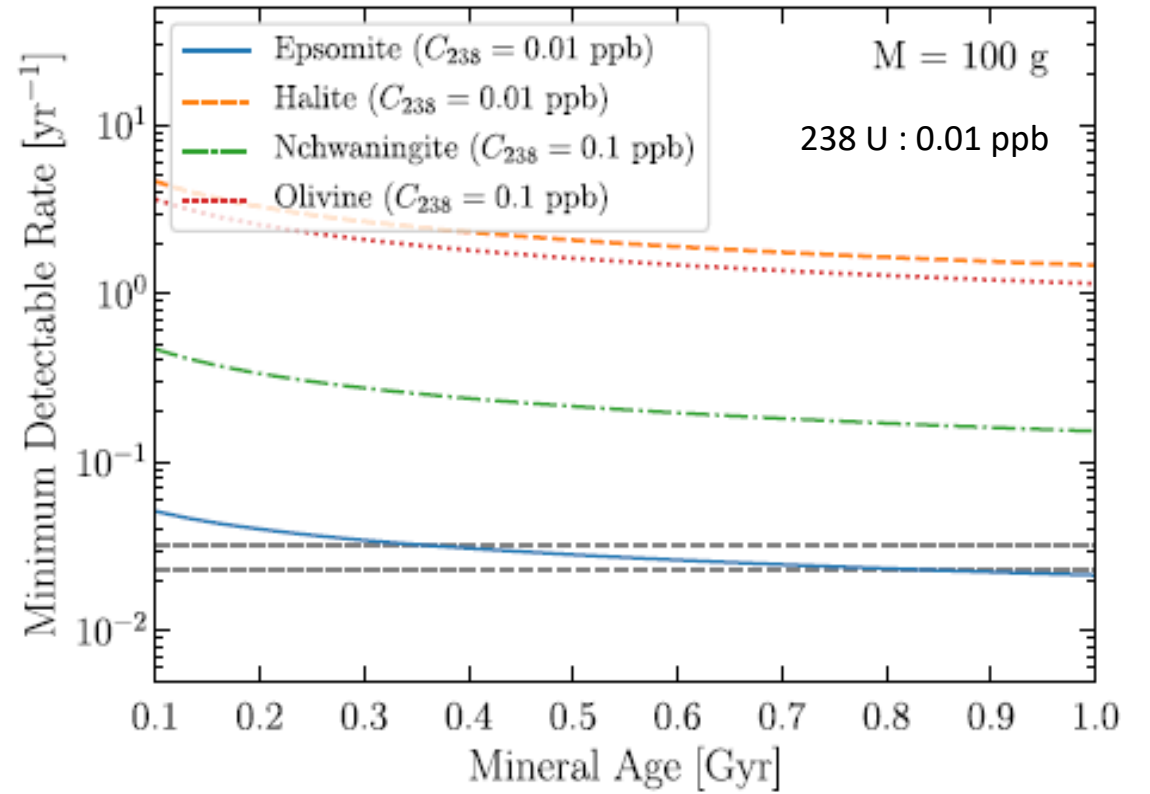
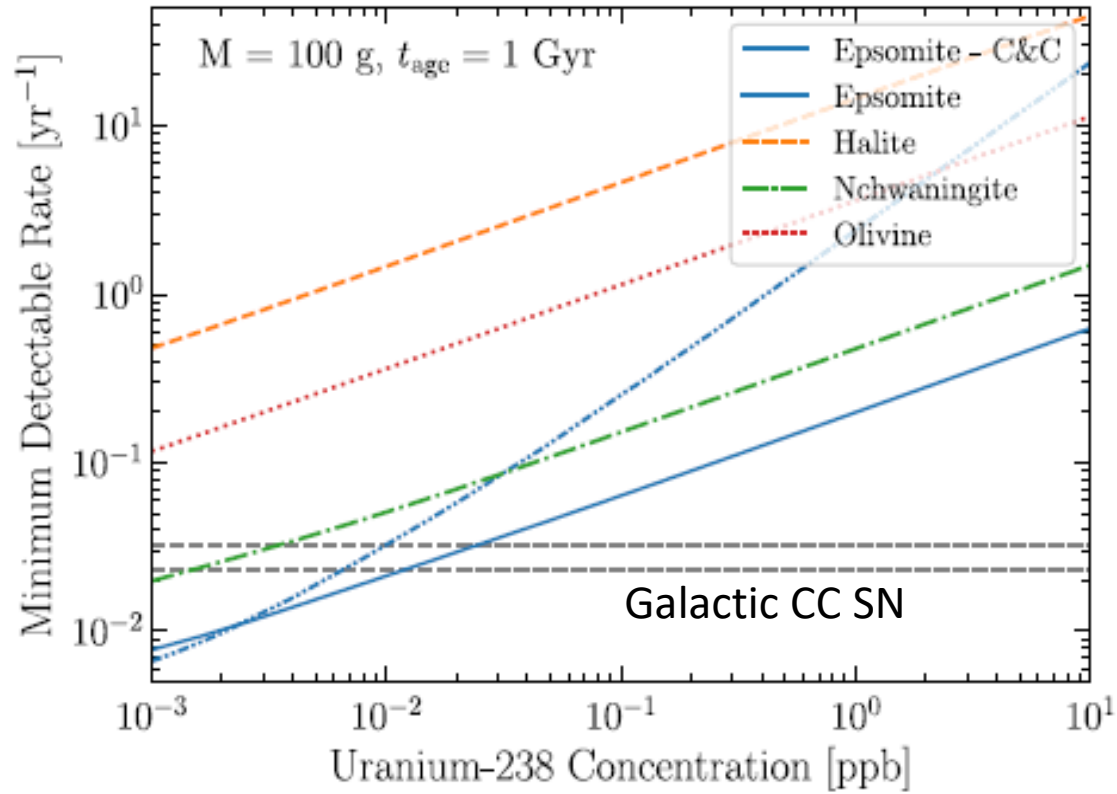


- Neutron background
- Spontaneous fission
 - (α , n) reaction

- ν background
- Solar neutrino (< 20 MeV)
 - Diffused SN ν (DSNB) ($20 \text{ MeV} < E < 30 \text{ MeV}$)
 - Atmospheric ν ($E > 30 \text{ MeV}$)

飛跡長 \propto 反跳エネルギー

Galactic CC SN rate in the mineral



Episomite [$\text{Mg}(\text{SO}_4) \cdot 7(\text{H}_2\text{O})$]



Halite [NaCl]

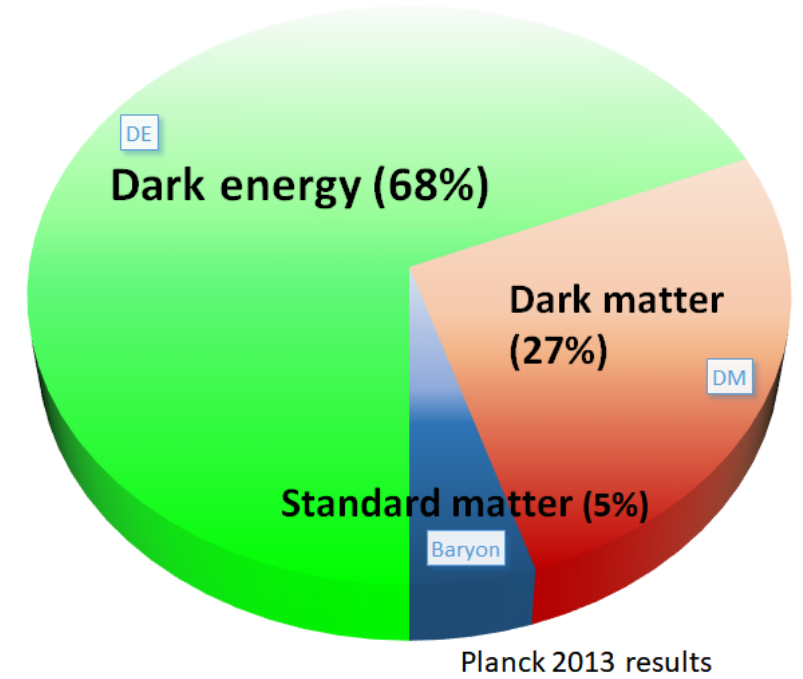


Nchwangingite
[$\text{Mn}_2^{2+}\text{SiO}_3(\text{OH})_2 \cdot \text{H}_2\text{O}$]

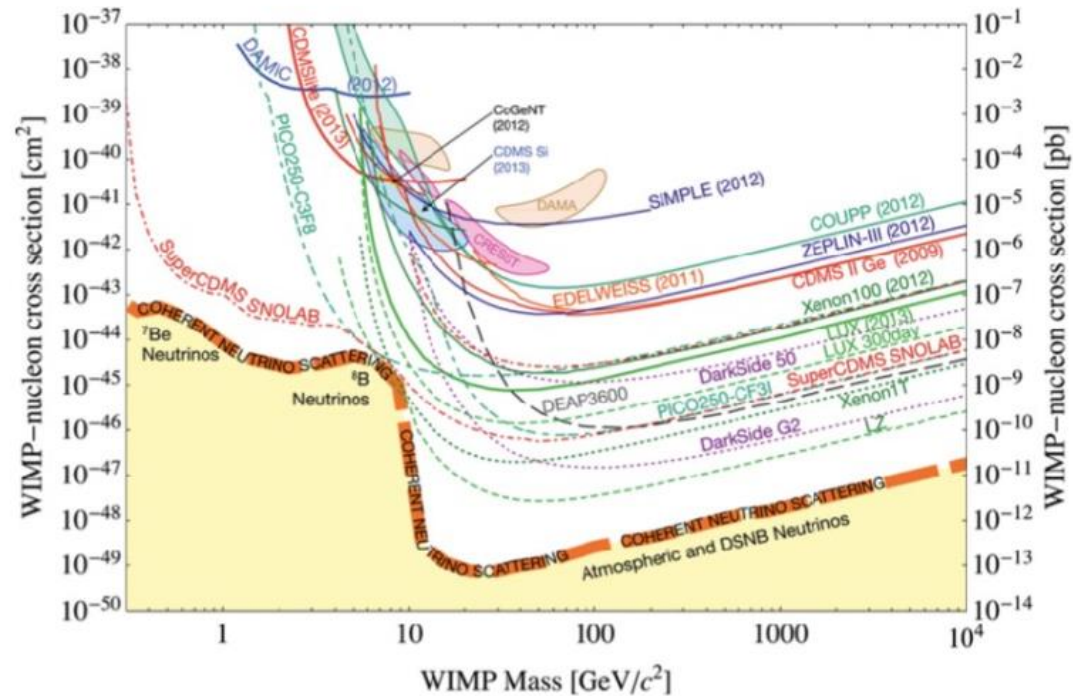
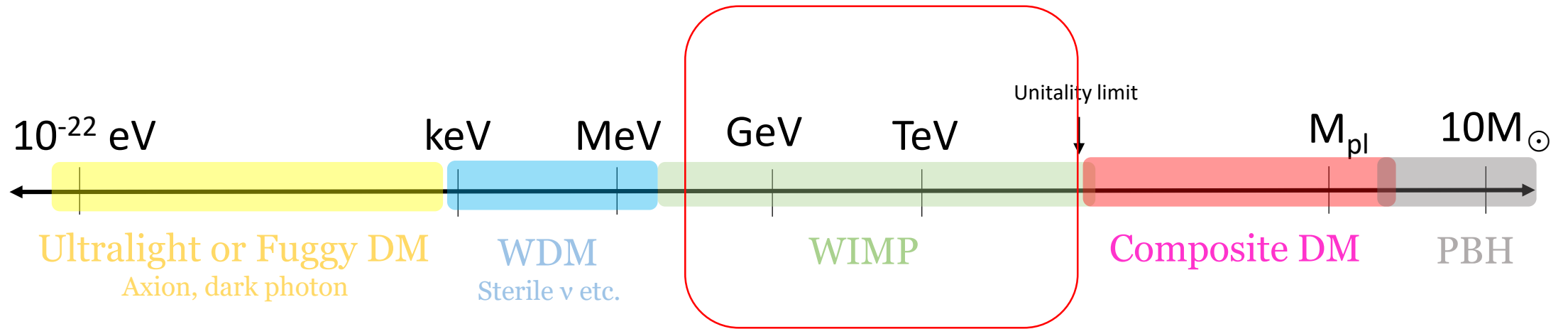


Olivine [$\text{Mg}_{1.6}\text{Fe}^{2+}_{0.4}\text{SiO}_4$]

For Dark Matter Detection



Dark Matter mass scale



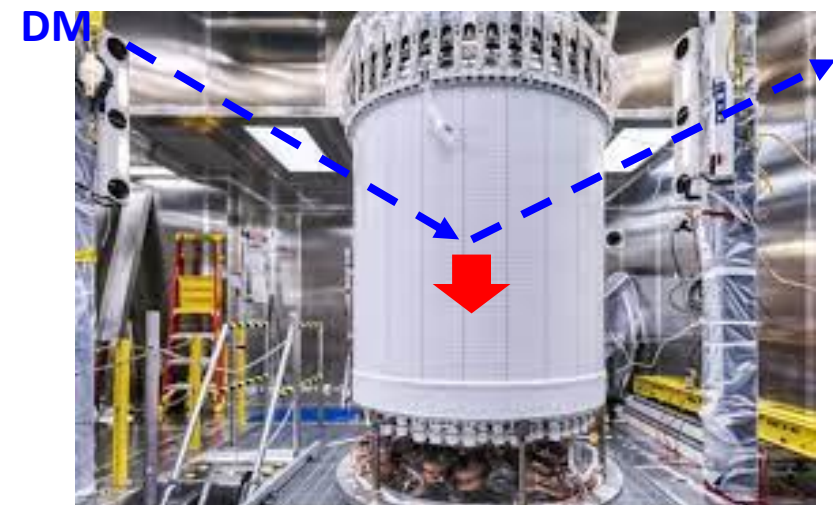
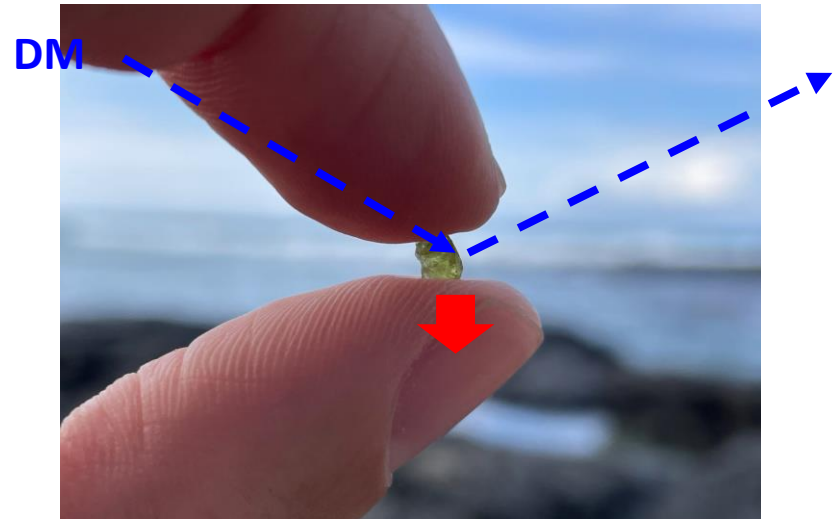
Number of signal $N = R [/ kg / year] \times M [kg] \times T [year]$

Event rate : $R [/ kg / year] = \rho [target\ nuclei / kg] \times flux [/ cm^2 / sec] \times \sigma [cm^2] \times (3.2 \times 10^7 sec / year)$

DM-nuclei cross section (unknown parameter)

$flux = \frac{\rho [GeV / cm^3]}{M_{DM} [GeV / c^2]} \times v [cm / sec]$

- ρ : local dark matter density $0.4 GeV / cm^3$ from rotation curve of galaxy
- v : dark matter velocity (typically $300 km / sec$)



VS

Mass scale > 0.001 kg (1g)

~ 10⁴ kg

Time scale 10⁹ years

O(1) years

Exposure (Mass × Time) > 10⁶ kg·year

~10⁴ kg·year

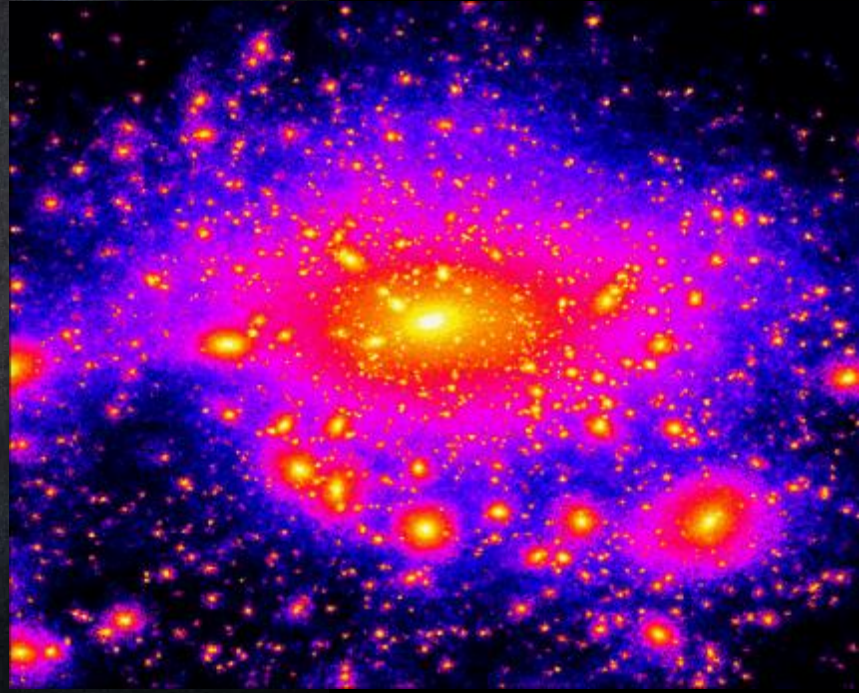
>

- Final sensitivity depends on the detection performance such as energy threshold, readout efficiency, background etc..



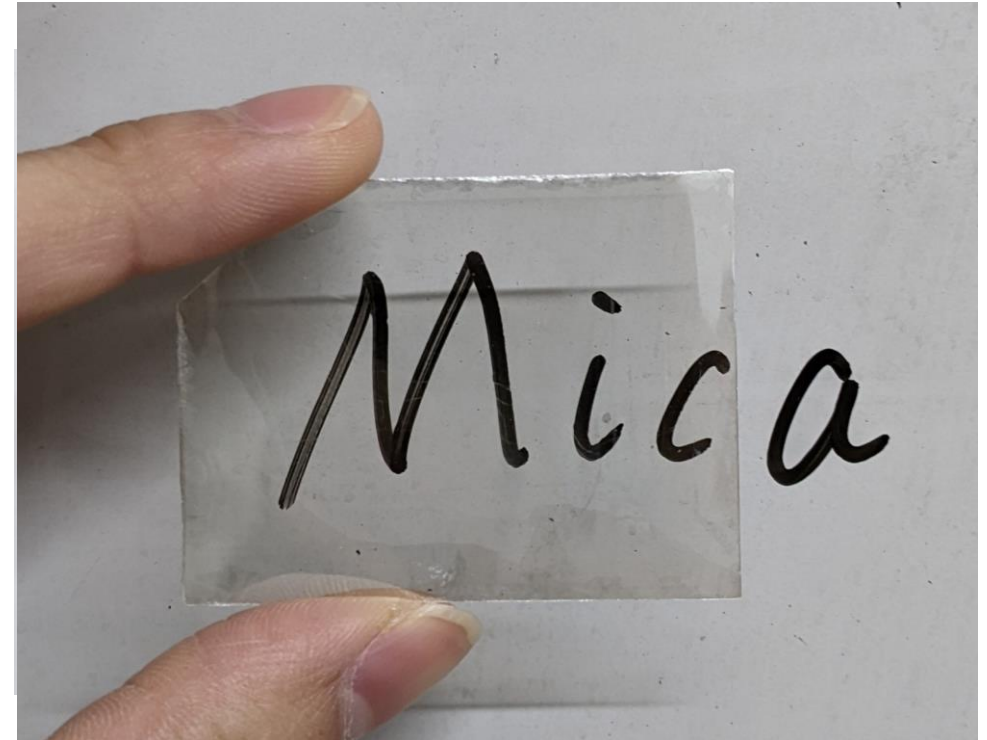
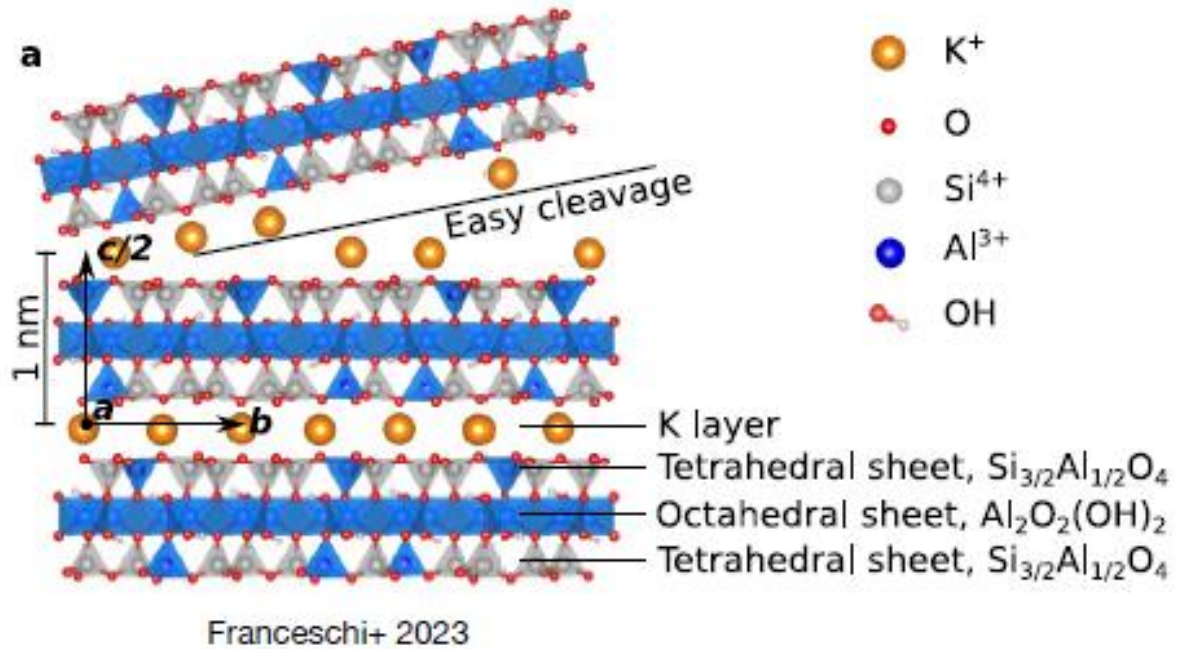
Sun ●

1 cycle ~ 250 Myear



昔の太陽系は、もっと内側にあった可能性もある (MNRAS 526, 6088–6102 (2023))

Muscovite Mica (白雲母)



Formula	$\text{KAl}_2(\text{AlSi}_3\text{O}_{10})(\text{OH})_2$
Cleavage	Perfect on {001}
Geological Setting	Common in many different rock types as a primary mineral

- Lower tracking threshold for energy deposition
- Low Uranium contamination (~ ppb)
- Thin layer and transparent

Previous research for WIMP search

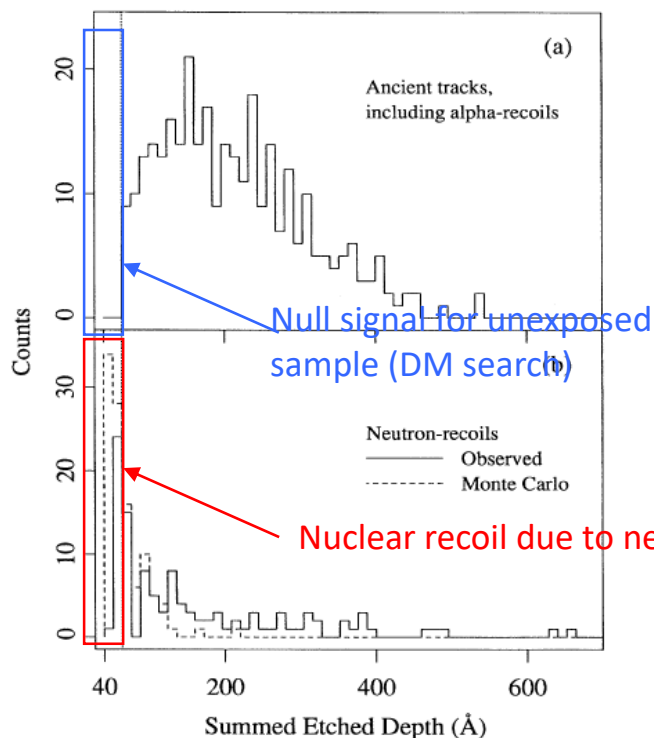
Limits on Dark Matter Using Ancient Mica

D. P. Snowden-Ifft,* E. S. Freeman, and P. B. Price*

Physics Department, University of California at Berkeley, Berkeley, California 94720

(Received 20 September 1994)

The combination of the track etching method and atomic force microscopy allows us to search for weakly interacting massive particles (WIMPs) in our Galaxy. A survey of $80720 \mu\text{m}^2$ of 0.5 Gyr old muscovite mica found no evidence of WIMP-recoil tracks. This enables us to set limits on WIMPs which are about an order of magnitude weaker than the best spin-dependent WIMP limits. Unlike other detectors, however, the mica method is, at present, not background limited. We argue that a background may not appear until we have pushed our current limits down by several orders of magnitude.

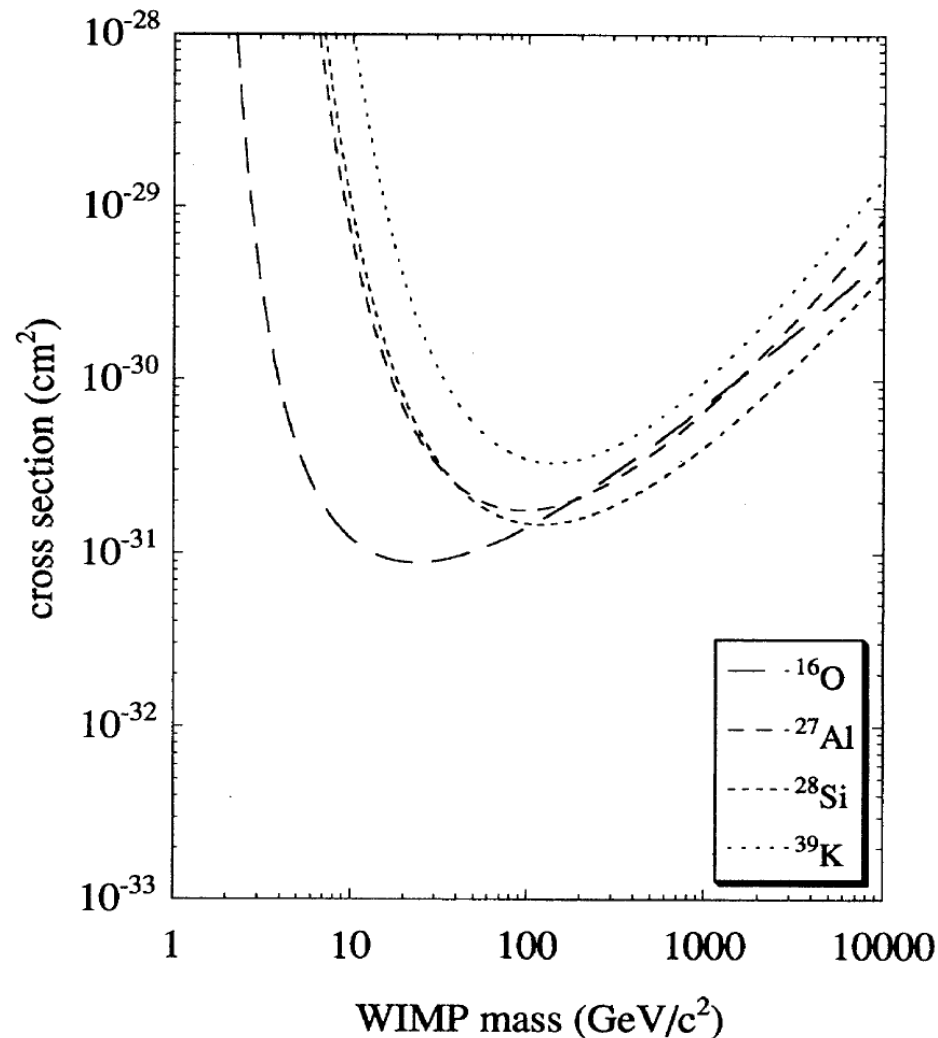


Scanning area : $80720 \mu\text{m}^2$
 $= 8 \times 10^{-4} \text{ cm}^2$
 (Probably $\sim 10^{-9} \text{ g}$)

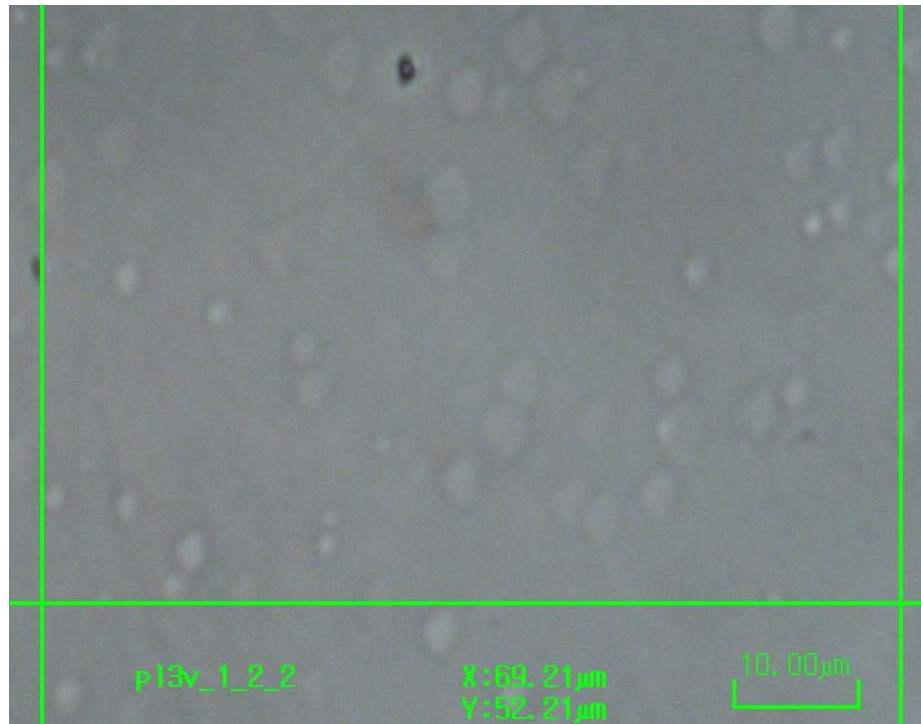
Exposure : 0.5 Gyear

⇒ $\sim 0.5 \text{ g} \cdot \text{year exposure}$

Readout technique : AFM

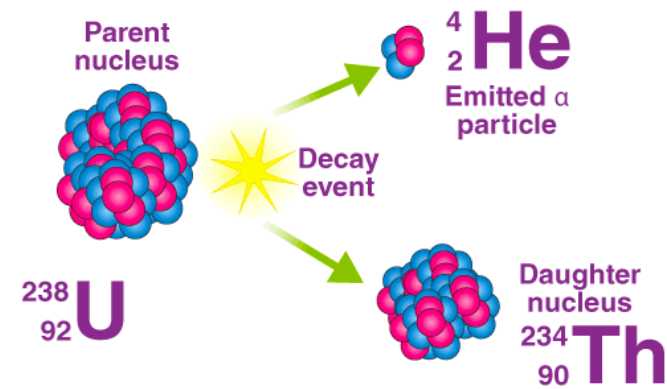


α -recoil tracks



ALPHA DECAY OF URANIUM 238

BYJU'S
The Learning App



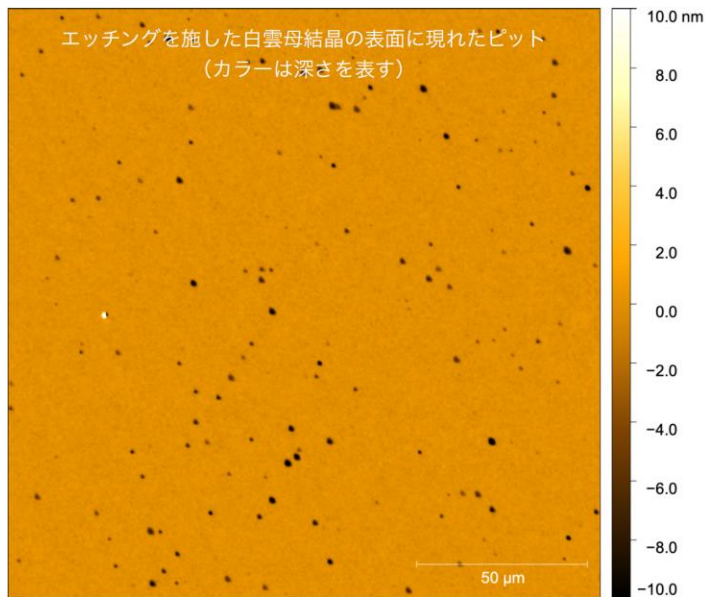
© Byjus.com

Electronic loss : $\sim 1.4 \text{ MeV/mg/cm}^2$
Nuclear loss : $\sim 12 \text{ MeV/mg/cm}^2$

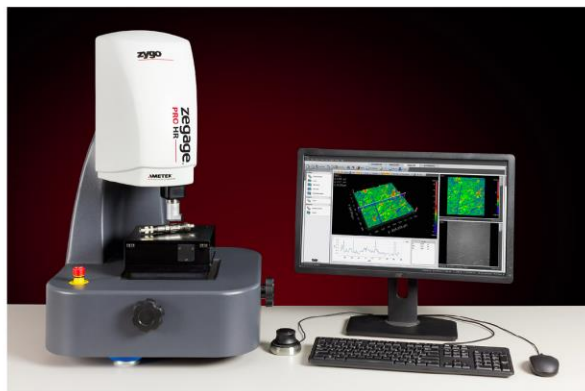
28nm nm

DMICA project

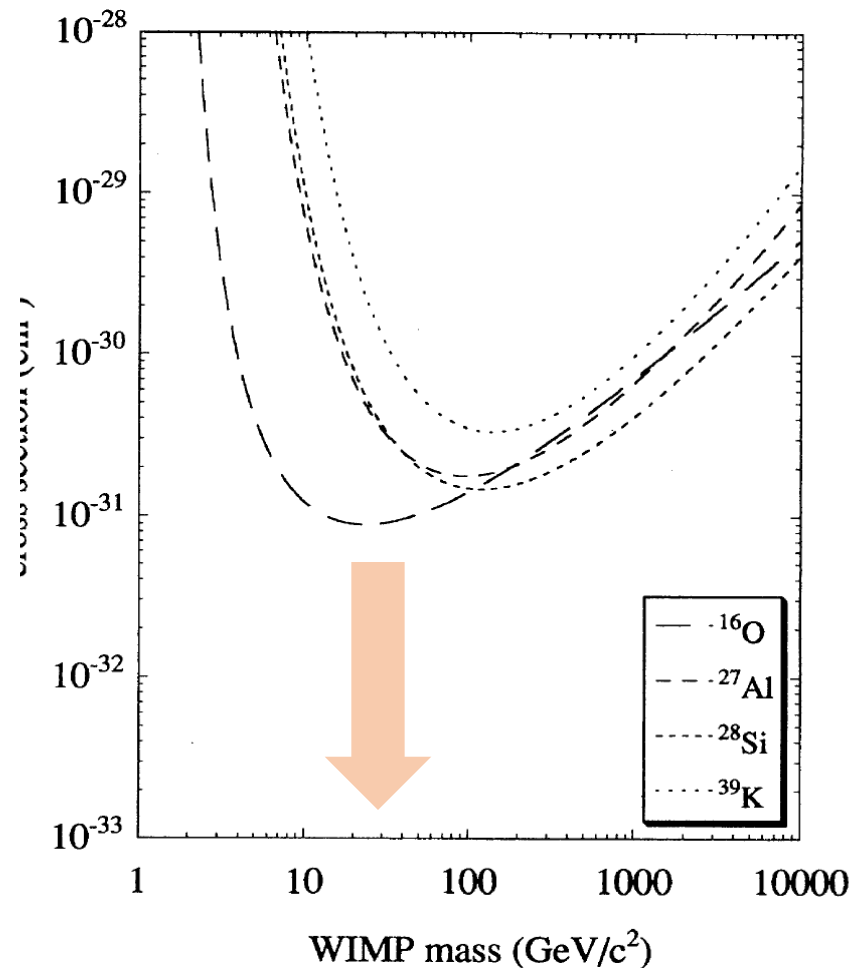
JAMSTEC 廣瀬さん +



劈開面から10nm程度の深さまでに存在したトラックがピットとして現れている



- DMICAではのべ400cm²の劈開面測定を目指す
 - 1視野 (3e-4cm²) の測定に5秒かかる
 - 1試料 (2cm²) の測定が1日 (9.2時間) で完了する
 - “計算上”、200日でのべ400cm²の測定を達成



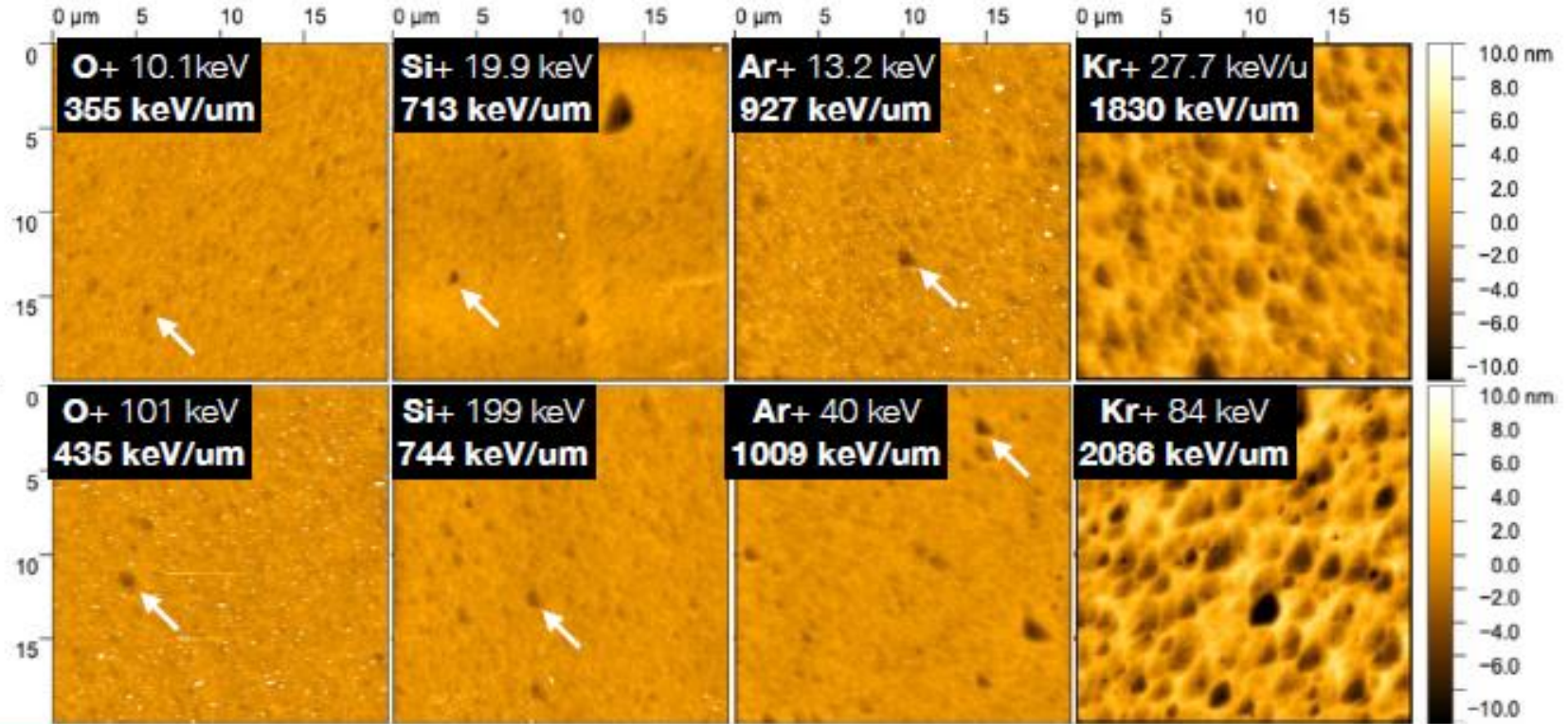
	survey area	sample age	exposure	readout
Snowden-Ifft	0.08 mm ²	0.5 Gyr	1e-6 ton year	AFM
DMICA	400 cm²	1 Gyr	1 ton year	3D optical profiler

Larger stopping power results in higher pit formation efficiency

arXiv:2301.07118

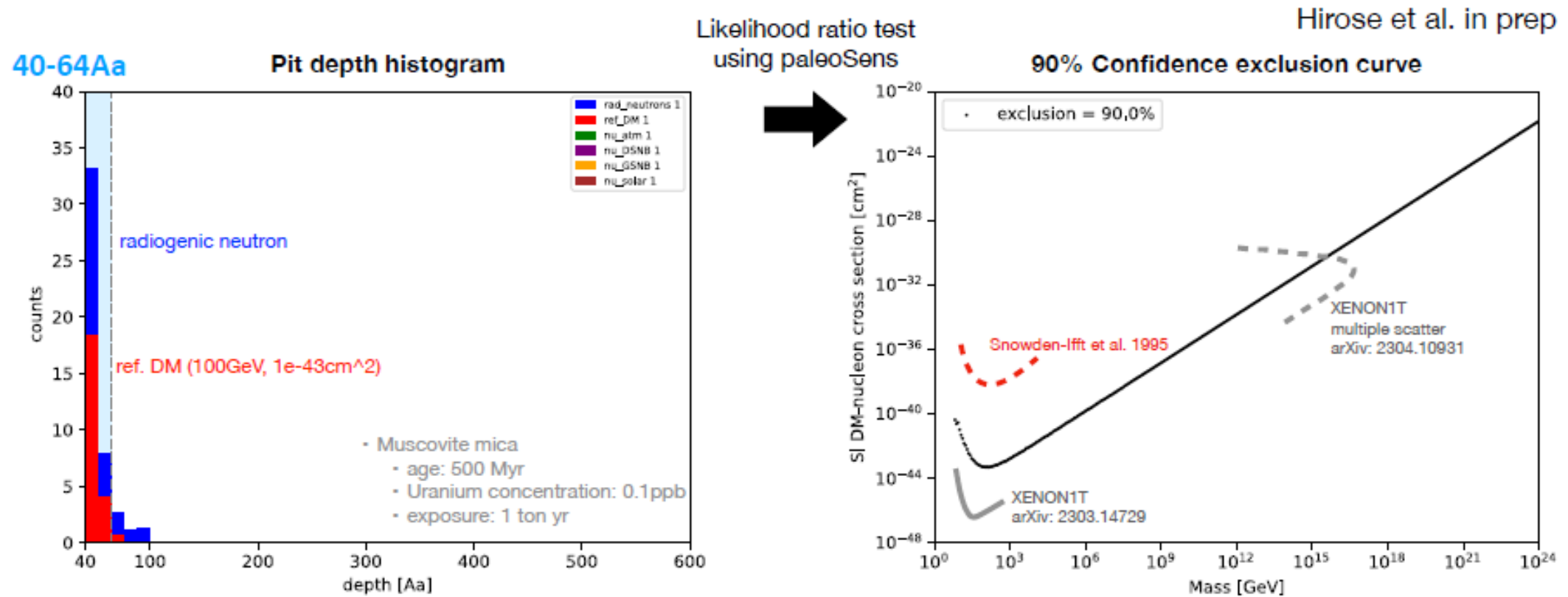
AFM image
(原子間力顕微鏡)

Irradiation dose is 80 ions per field of view (20umx20um).



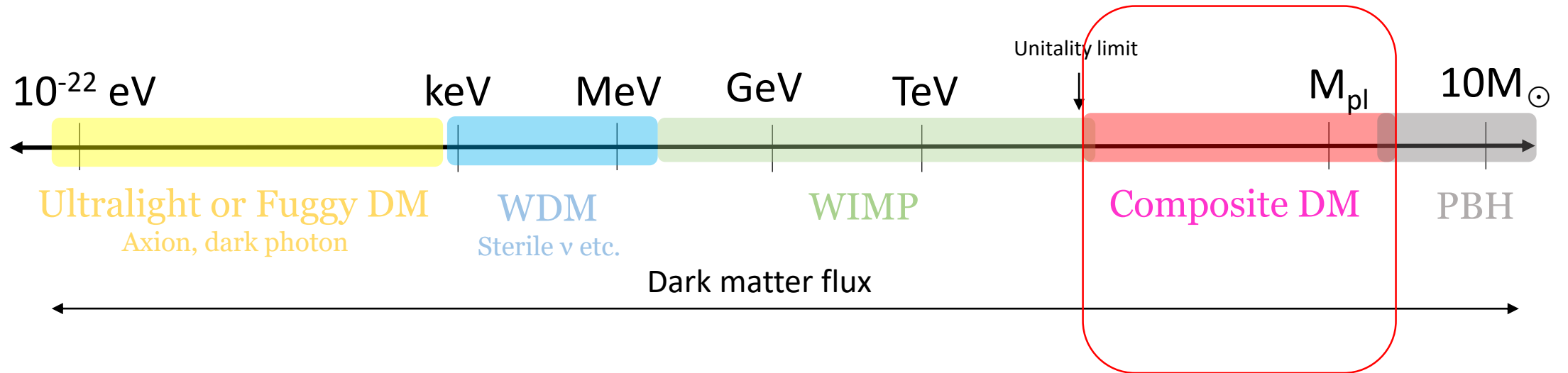
proxy	DM scattering	alpha recoils
pit formation efficiency	several to 10 %	~ 100%

Sensitivity Curve derived for DMICA's target exposure of 1 ton year case



- High-mass end of the curve of DMICA could be significantly larger than that of the XENON1T experiment.

Dark Matter mass scale



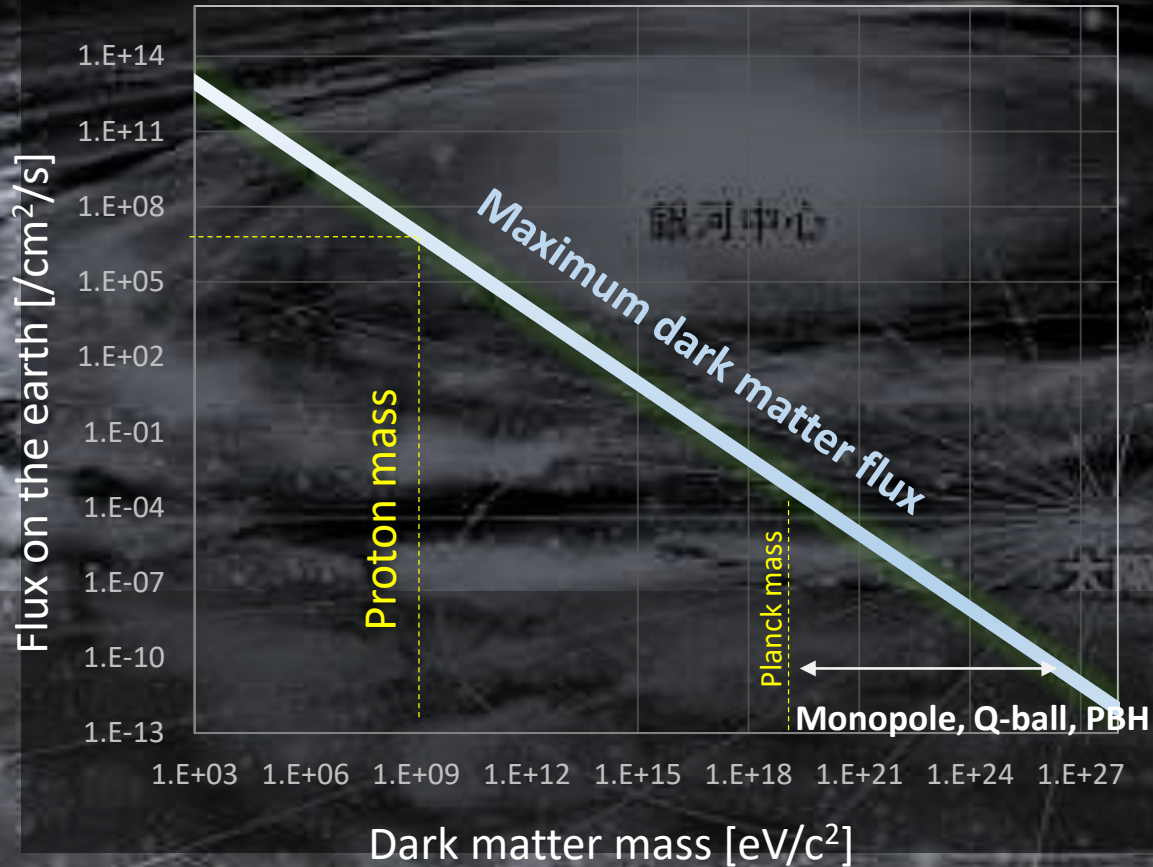
Candidate : Q-ball, quark nugget, Nuclearite, etc.
Mass scale : > 10²⁰ GeV

$$DM \text{ flux on the earth} = 1.2 \times 10^7 / \text{cm}^2 / \text{sec} \left(\frac{v}{300 \text{ km/sec}} \right) \left(\frac{1 \text{ GeV}/c}{M_{DM}} \right)$$

➔ Heavy DM expect to be very low flux

Dark Matter in the milky way galaxy

Dark matter flux on the earth



Flux of $10^{20} \text{ GeV}/c^2 : < 10^{-13} / \text{cm}^2/\text{sec}$

For typical detector scale, $O(1)/\text{year}$ or less



Paleo detector with geoscience scale is powerful methodology!

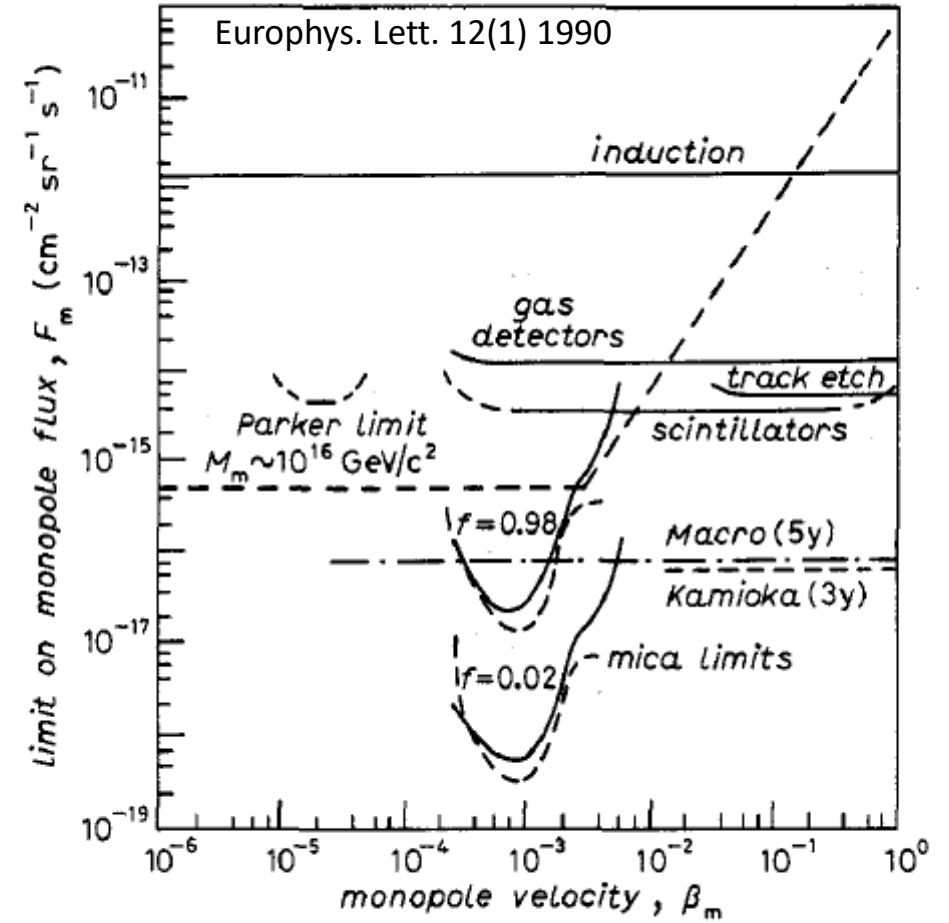
Monopole

Monopole Flux — Cosmic Ray Searches

PDG

“Caty” in the charge column indicates a search for monopole-catalyzed nucleon decay.

FLUX ($\text{cm}^{-2}\text{sr}^{-1}\text{s}^{-1}$)	MASS (GeV)	CHG (g)	COMMENTS ($\beta = v/c$)	EVTS	DOCUMENT ID	TECN
<1.5E-18		1	$\beta > 0.6$	0	1 ALBERT 17	ANTR
<2.5E-21		1	$1E8 < \gamma < 1E13$	0	2 AAB 16	AUGE
<1.55E-18			$\beta > 0.51$	0	3 AARTSEN 16B	ICCB
<1E-17		Caty	$1E-3 < \beta < 1E-2$	0	4 AARTSEN 14	ICCB
<3E-18		1	$\beta > 0.8$	0	5 ABBASI 13	ICCB
<1.3E-17		1	$\beta > 0.625$	0	6 ADRIAN-MAR..12A	ANTR
<6E-28	<1E17	Caty	$1E-5 < \beta < 0.04$	0	7 UENO 12	SKAM
<1E-19		1	$\gamma > 1E10$	0	8 DETRIXHE 11	ANIT
<3.8E-17		1	$\beta > 0.76$	0	5 ABBASI 10A	ICCB
<1.3E-15	$1E4 < M < 5E13$	1	$\beta > 0.05$	0	9 BALESTRA 08	PLAS
<2.E-13			$4.E-4 < \beta < 1$	0	TSUKAMOTO 87	CNTR
<5.E-14		1	all β	1	19 CAPLIN 86	INDU
<5.E-12		1		0	CROMAR 86	INDU
<1.E-13		1	$7.E-4 < \beta$	0	HARA 86	CNTR
<7.E-11		1	all β	0	INCANDELA 86	INDU
<1.E-18			$4.E-4 < \beta < 1.E-3$	0	18 PRICE 86	MICA
<5.E-12		1		0	BERMON 85	INDU
<6.E-12		1		0	CAPLIN 85	INDU
<6.E-10		1		0	EBISU 85	INDU



Mica was utilized for monopole search assumed M-AI bound condition

Q-ball

- Baryon or/and Lepton number generation
- Beyond Standard Model (e.g., SUSY) \Rightarrow Grand Unified Theory
- Dark Matter Candidate

Q-ball solution and Affleck-Dine(A-D) mechanism

- Q-ball solution (Coleman, 1985)

Scalar field ϕ with U(1) symmetry

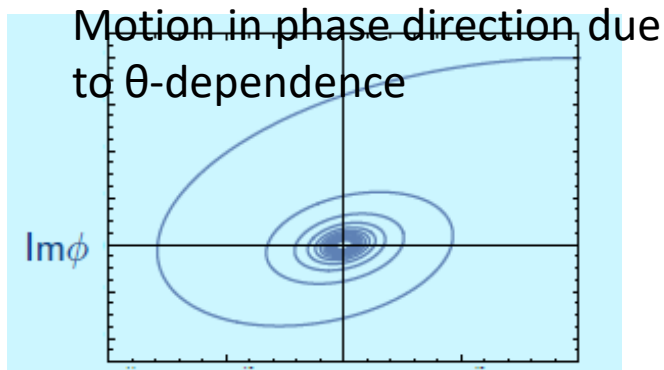
$$Q = \frac{1}{2i} \int d^3x (\phi^* \dot{\phi} - \dot{\phi}^* \phi)$$

$$E = \int d^3x (|\dot{\phi}|^2 + \frac{1}{2} |\nabla\phi|^2 + V(\phi))$$

Q-ball = field configuration minimizing E with Q constant

- A-D mechanism

- MSSM scalar field
- SUSY breaking and inflation

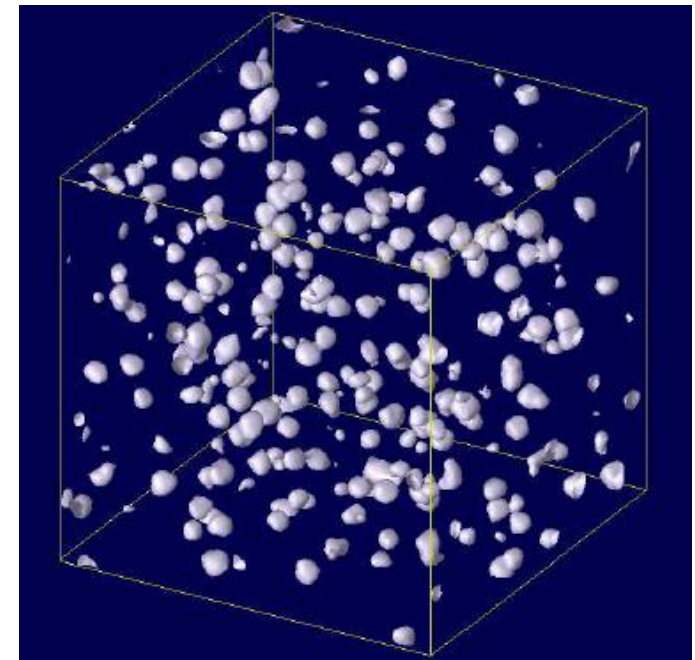


Generation of B and L number $N_{B,L} \sim \dot{\theta} \phi^2$

初期宇宙におけるBaryon数(Lepton数)生成機構

AD field oscillation has instability if $V(\phi) < \phi^2$

- 空間的なスカラー場のゆらぎ
- Q-ball の生成



Hiramatsu, Kawasaki, Takahashi (2010)

Q-ball dark matter

Gauge mediated SUSY breaking model

$$V(\Phi) = M_F^4 \left[\log \left(1 + \frac{|\Phi|^2}{M_{mess}^2} \right) \right]^2 + m_{3/2}^2 |\Phi|^2 \left[1 + K \log \left(\frac{|\Phi|^2}{M_{mess}^2} \right) \right]$$

Gauge-mediation type

new type



Q-ball is always formed



Q-ball is formed for $K < 0$

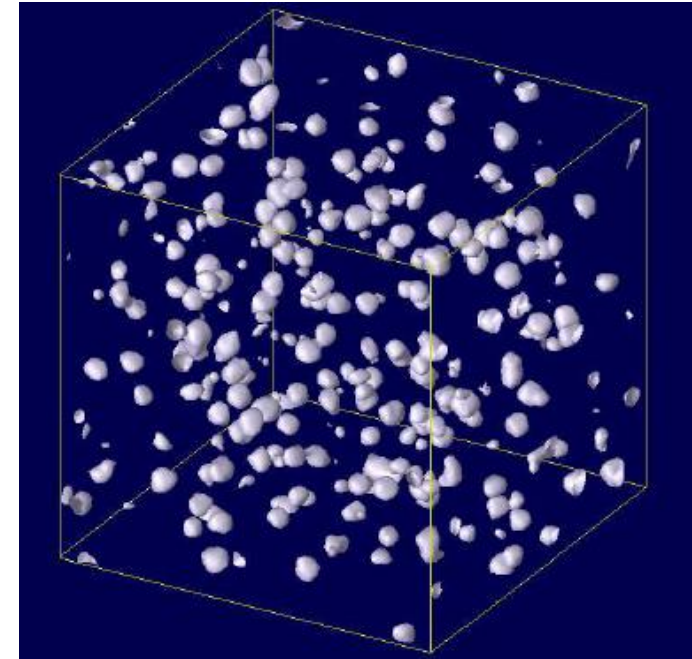
$$\frac{dM_Q}{dQ} = \sqrt{2}\pi\zeta M_F Q^{-1/4} < m_p$$

$$\frac{dM_Q}{dQ} = m_{3/2} < m_p \quad M_Q = m_{3/2} Q$$

* $m_{3/2}$: gravitino mass

Q-ball can be the Dark Matter because there is no lighter particle with baryon number than proton.

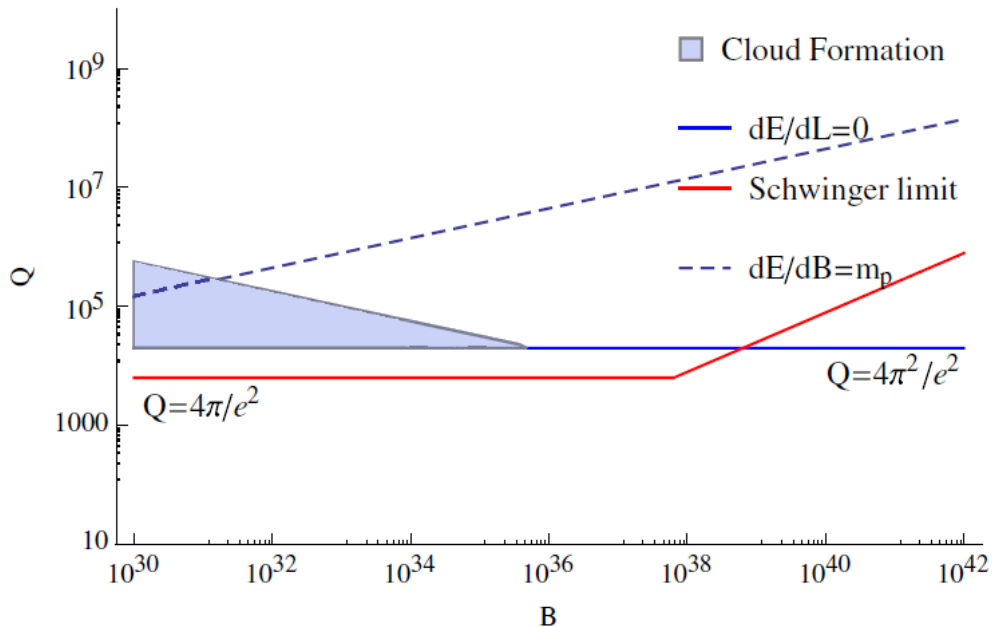
AD field oscillation has instability if $V(\phi) < \phi^2$



Hiramatsu, Kawasaki, Takahashi (2010)

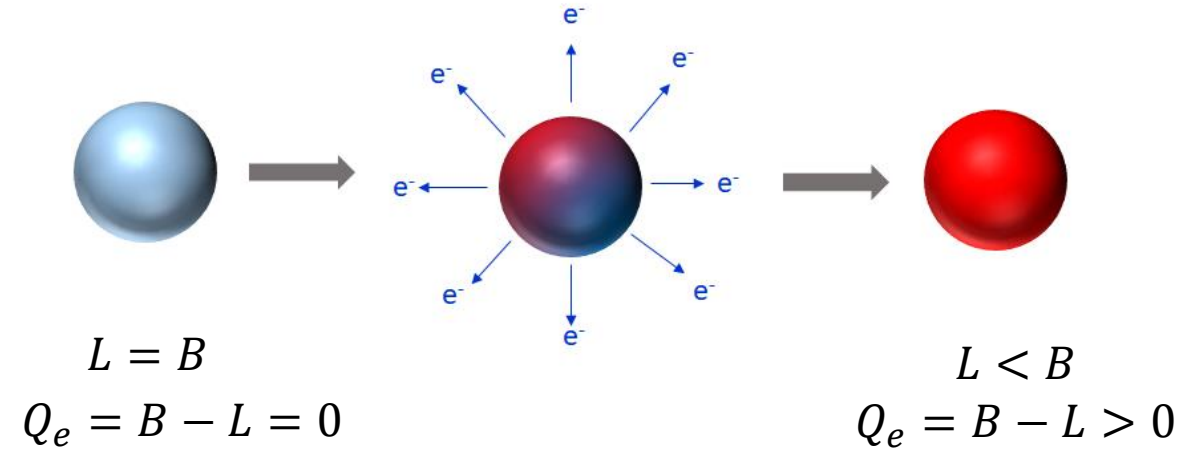
Stable “charged” Q-ball

- Q-ball with both B and L charge (e.g., $u^c u^c d^c e^c$)
- Stable against decay into protons
- Lepton component can decay into leptons



J.P. Hong, M. Kawasaki, M. Yamada, PRD, 92, 063521 (2015)

J.P. Hong, M. Kawasaki, PRD, 95, 123532 (2017)

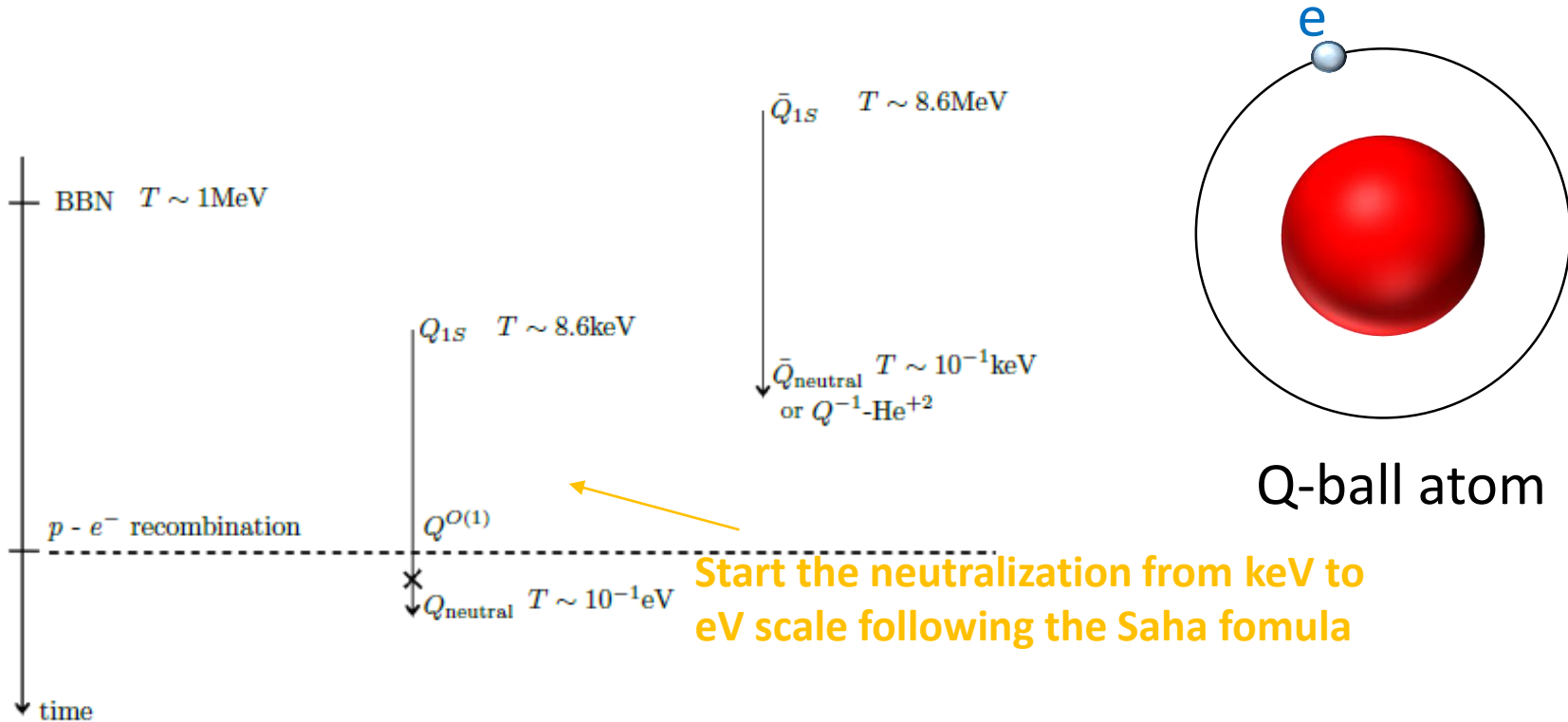


Stable charged Q-ball condition

- Size of the electron cloud becomes smaller than the Q-ball radius
- Bohr radius is smaller than the Q-ball radius when the cloud starts to form
- Schwinger effect becomes effective

Condition of “charged” Q-ball dark matter

Evolution of charged Q-ball



Much heavy mass : $\sim 10^{20}$ GeV

$Q_e = \alpha^{-1} \sim 137$

+O(1) ionlike

$\beta : 10^{-3}$

Jeong-Pyeong Hong et al JCAP08(2016)053

As quite heavy atom-like particle, it should not be stopped in the material.



Demonstration

→ penetrating long track

No candidate for any radiation on the earth
⇒ Background free!

Xe 500 MeV/u@ HIMAC

Expected achievement for Q-ball search with the mica + current cutting-edge technologies

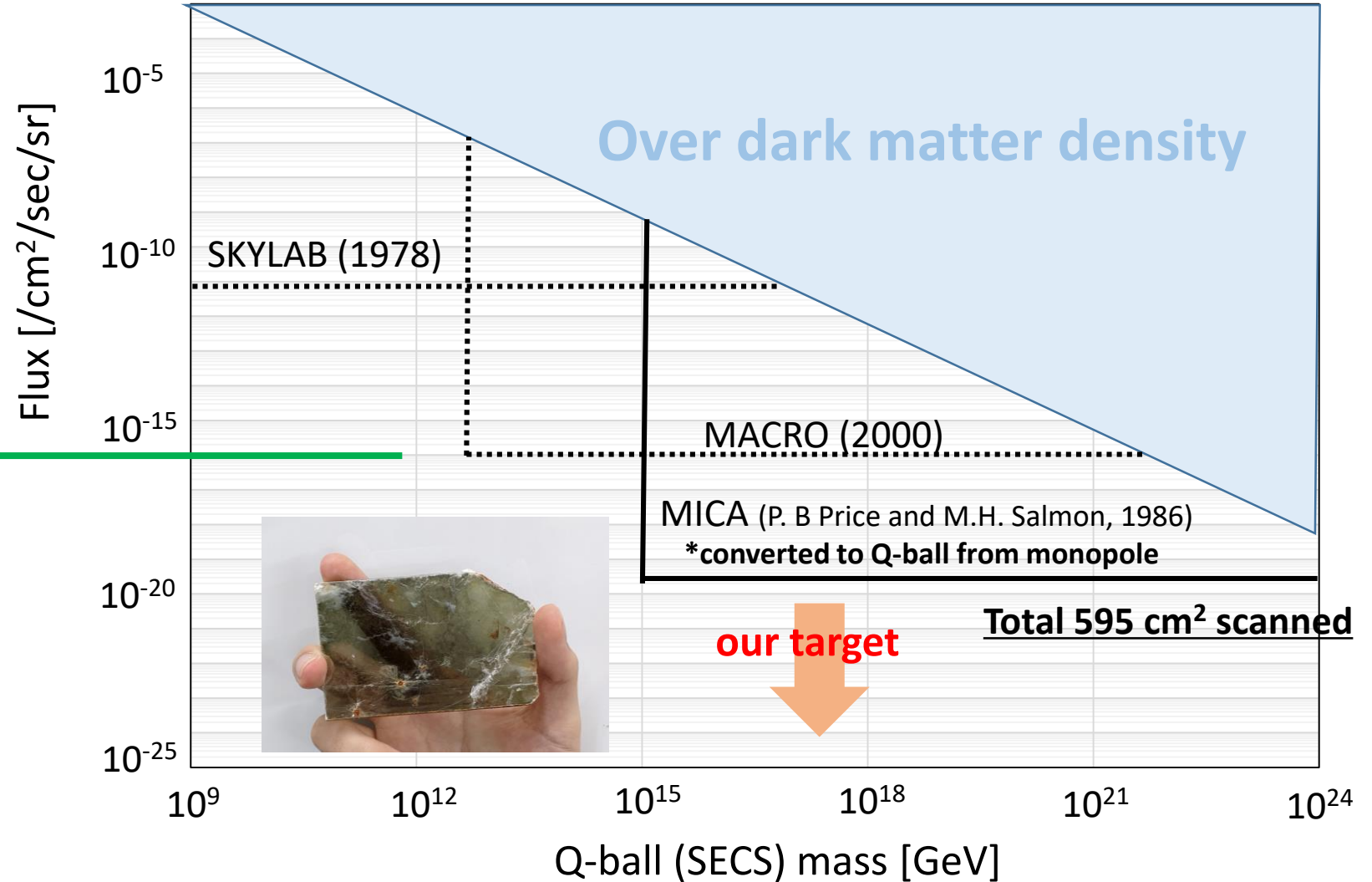
MACRO experiment [1989-2000]



CR-39 (plastic damage detectors)

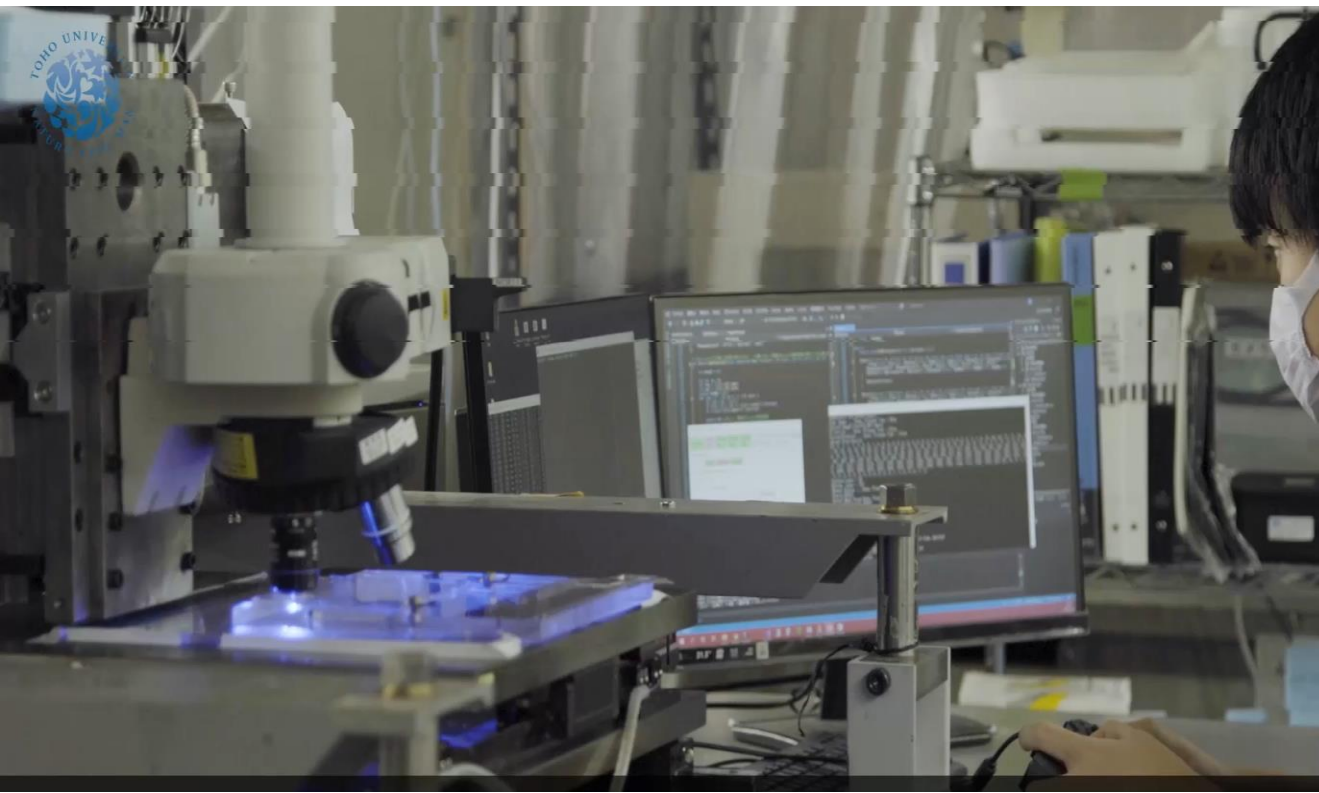
Observed area : $O(10 \times 10) \text{ m}^2$

Exposure time : $O(1) \text{ year}$



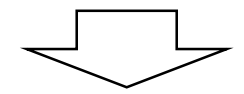
Optical microscope scanning system

PTS system for nuclear emulsion scanning
(NEWSdm experiment for directional DM search)

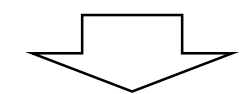


Application of optical readout system for nuclear emulsion

Current system : $\sim 20\text{h} / 100\text{ cm}^2$
(optimized for nano-metric tracking with nuclear emulsion)



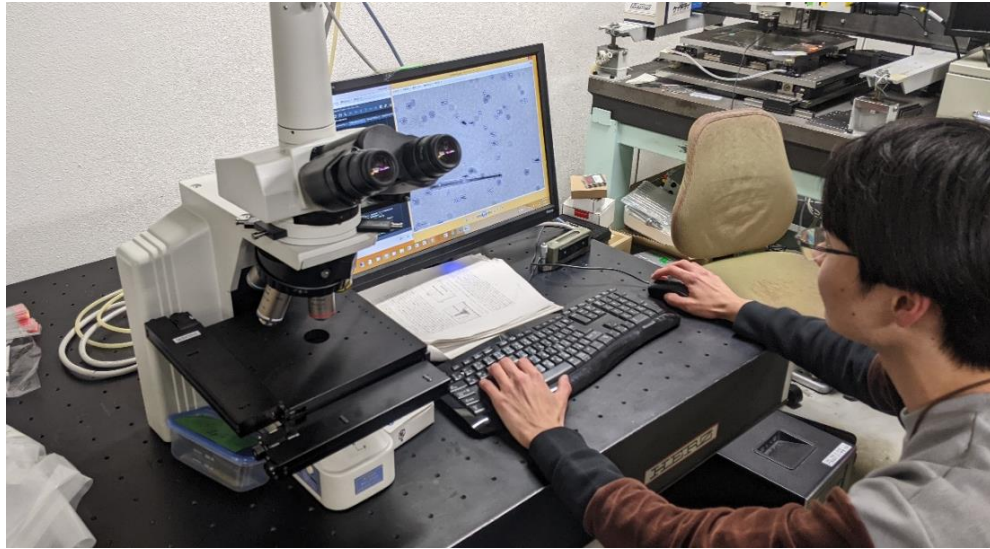
Optimization : $1\text{h} / 100\text{ cm}^2$ (for Paleo detector)



Wide view scanning : $10\text{ min} / 100\text{ cm}^2$ (only surface)

Now on construction !

New scanning system for the Paleo detector



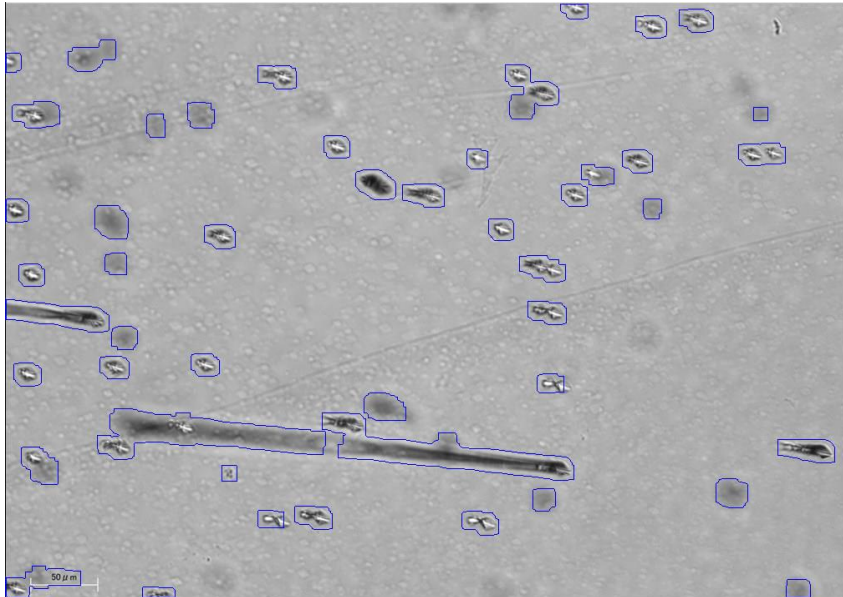
Construction of automatic optical scanning system

- Driving stage installation was done
- Piezo actuator for Z driving and high speed camera will be installed soon.
- Scanning program will be diverted from nuclear emulsion scanning

Image Processing study

- Optimal image processing is investigating
- Deep learning will be installed for more efficient event selection

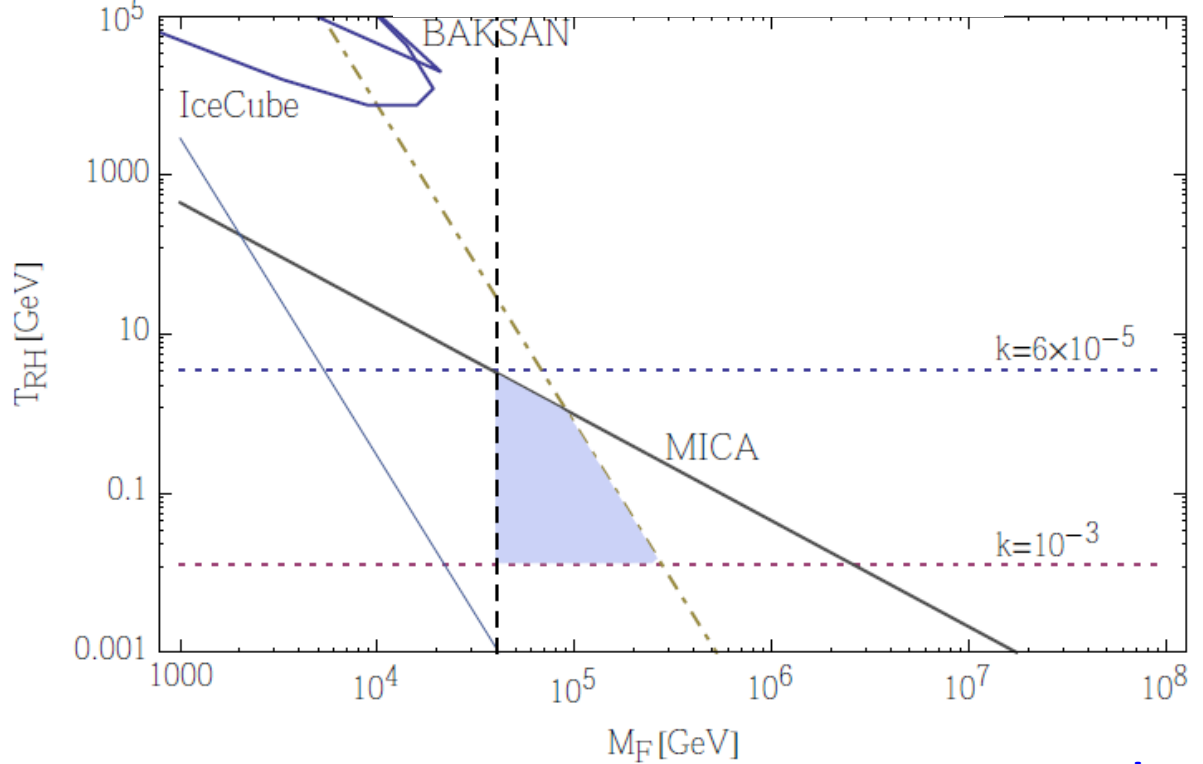
First operation and search of the Q-ball-like tracks will be started in this year.



Expectation for searching the astroparticle physics parameter space

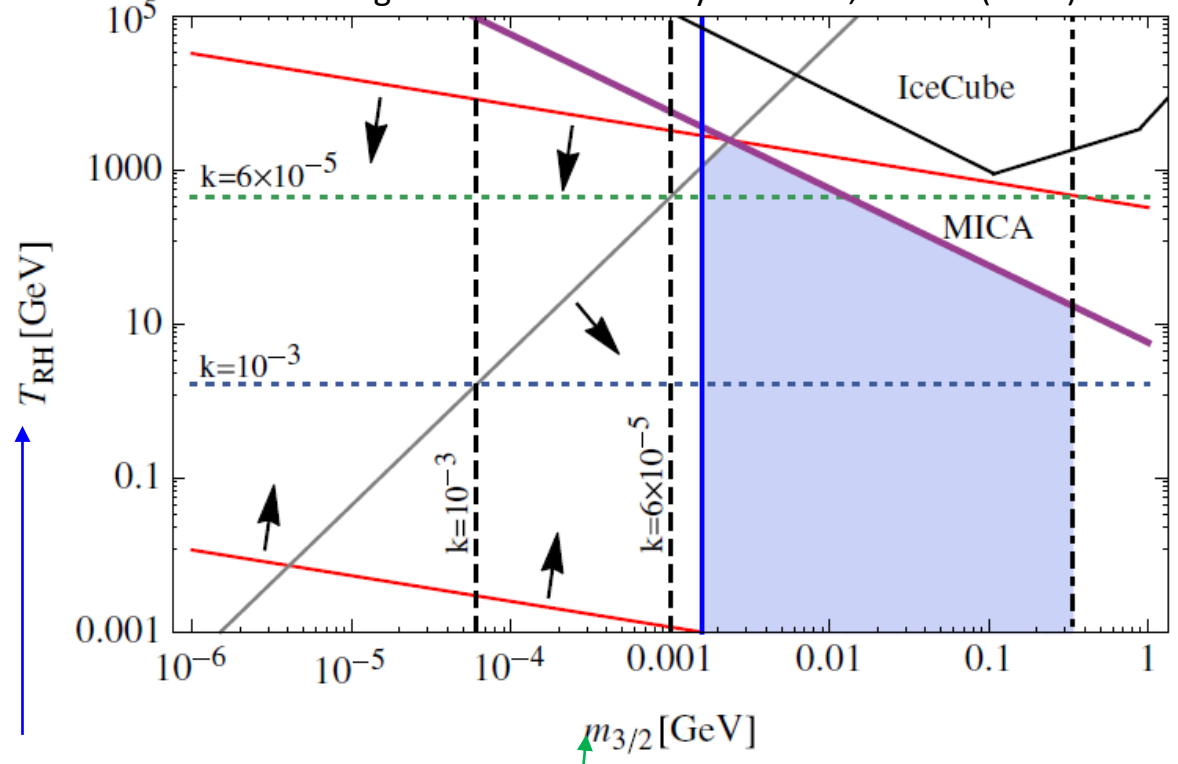
Gage mediated Q-ball

Jeong-Pyong Hong et al JCAP08(2016)053



New type Q-ball

J.P. Hong and M. Kawasaki PhysRevD.95, 123532(2017)



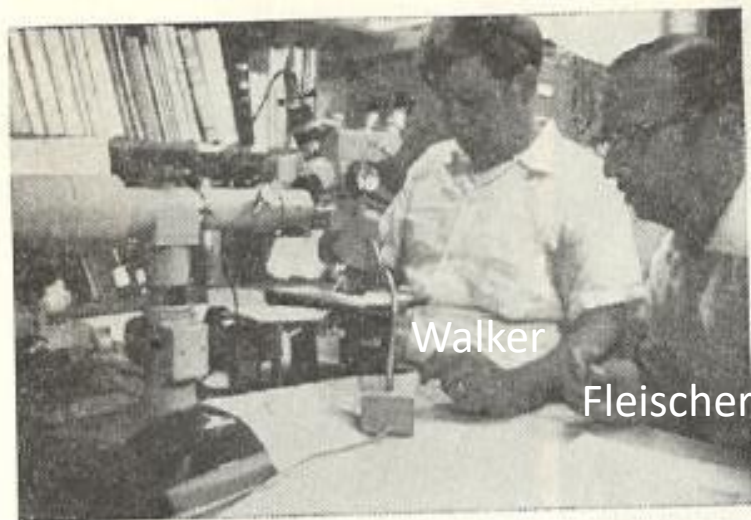
Reheating temperature

Gravitino mass

$$\frac{\rho_{DM}}{s} \sim \frac{3T_{RH}}{4} \frac{M_Q n_\phi / Q}{3H_{osc}^2 M_P^2} \sim \frac{9}{4} T_{RH} \frac{\phi_{osc}^2}{M_P^2},$$

For Cosmic-ray (especially, Ultra-heavy ion)

歴史: Apollo sample



Walker

Fleischer

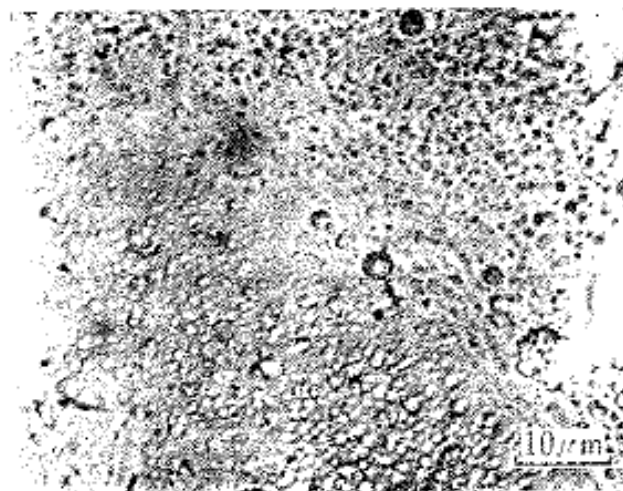


Price

1960年代から80年代くらい
に積極的に研究

「粒子トラックとその応用」(阪上正信 著)より

アポロ11号の月試料の
トラック観察



(a)



(b)

図 95 月試料のトラック (a) 試料 10005; 小ガラス球中の破碎反跳トラック (b) 試料 10017; 小さな輝石粒中の宇宙線トラック (ある方向で長い), 多くの浅い短いトラックは破碎反跳による [R. L. Fleischer et al.: *Geochim. Cosmochim. Acta Suppl.* 13, 2103 (1970)]

Long and High-Z track candidate in the mineral on the moon

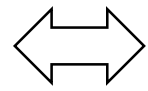
Apolo12 サンプル
ピジョン輝石 [$(\text{Mg,Fe,Ca})_2\text{Si}_2\text{O}_6$]



The <https://www.mindat.org/min-3210.html> crystals from lunar rock

少なくとも1mm程度のトラックを1 event 観測

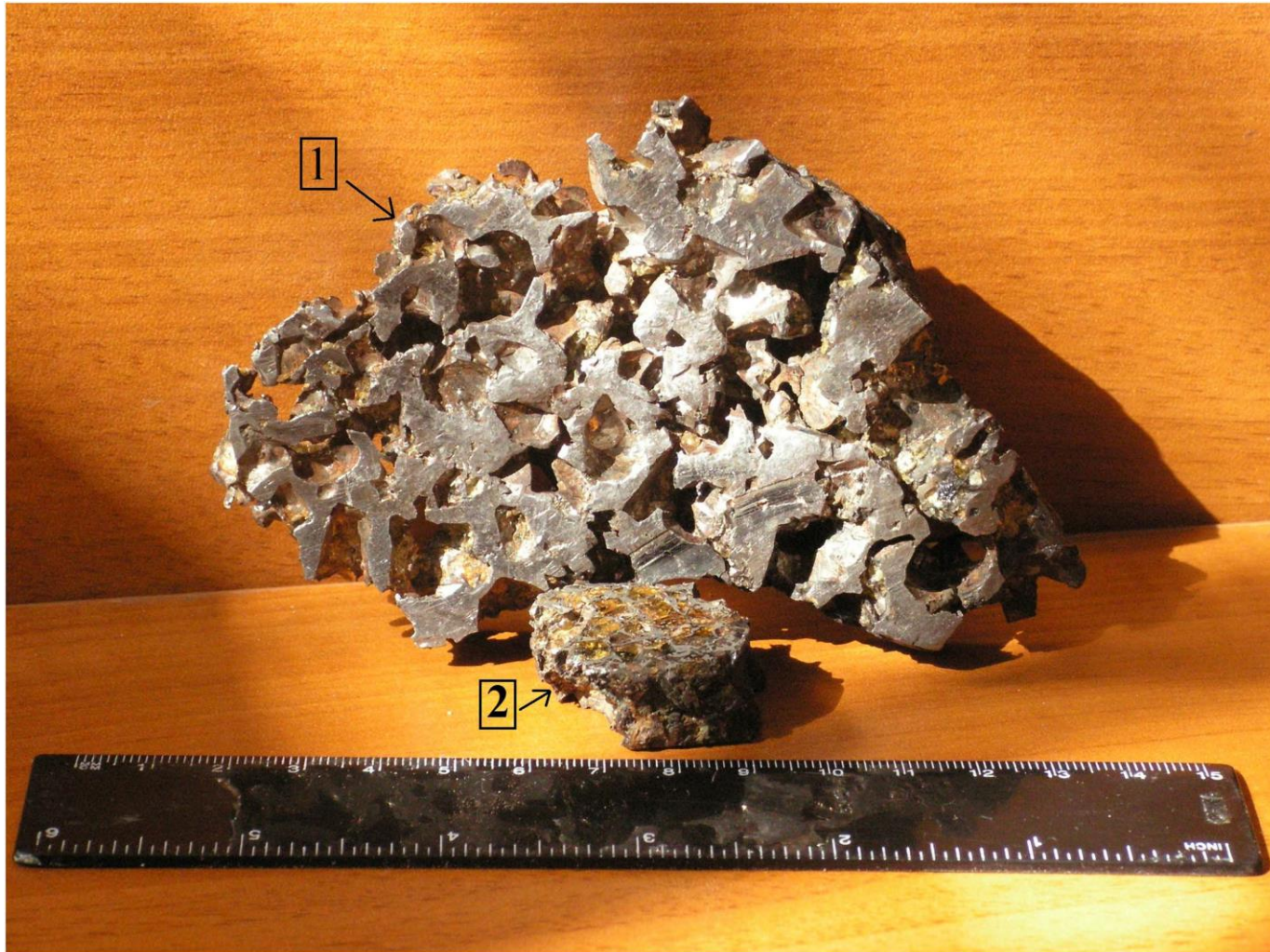
重元素の場合: $Z > 80 \sim 90$
→ 入射エネルギー $> 100 \text{ MeV/u}$



モノポール解釈 (Q-ballでも良い)
線幅が一様である → エネルギー損失の変化が小さい(ように見える)



OLIMPIYA experiment @Russia



ApJ, 829:120 (2016)

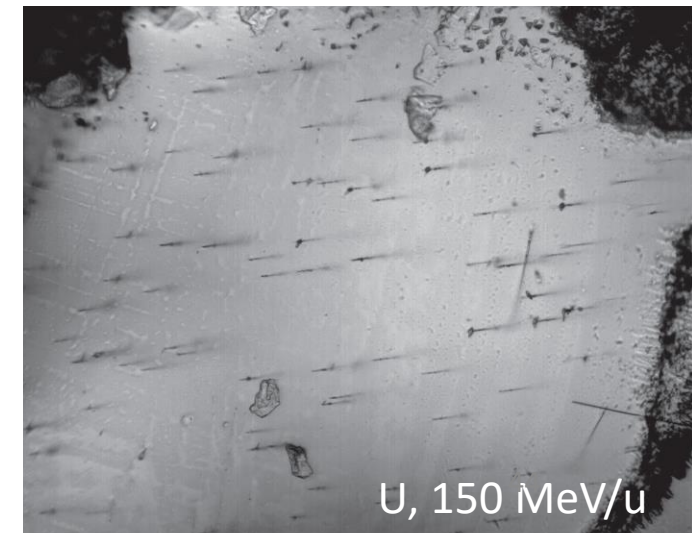
パラサイト隕石

鉄とカンラン石でできた隕石

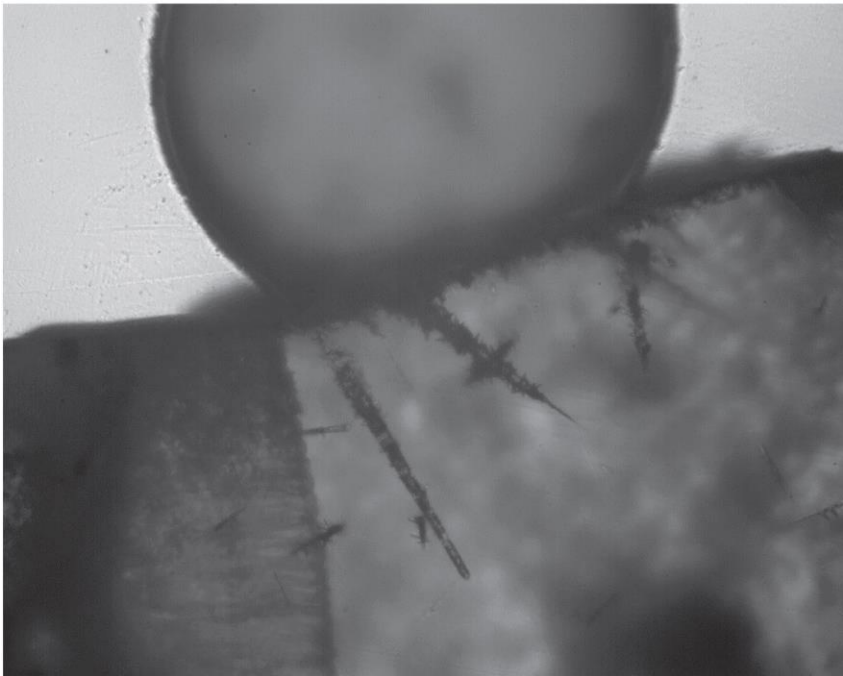
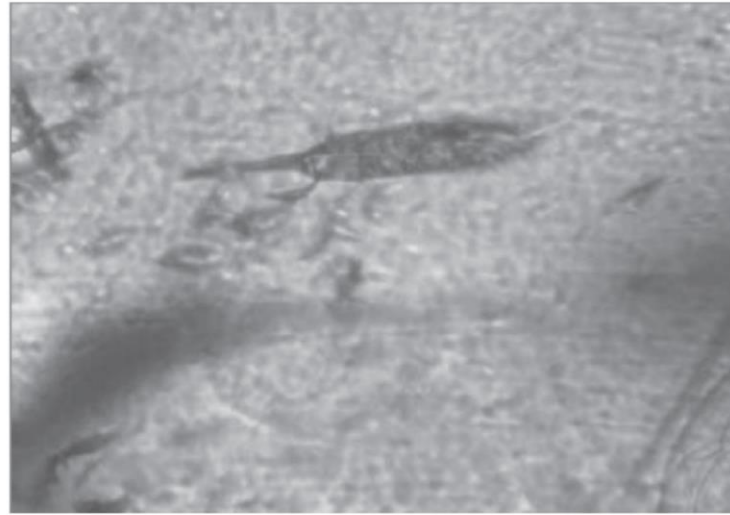
カンラン石を取り出し、エッチング
処理によってトラック分析



Olivine [$\text{Mg}_{1.6}\text{Fe}^{2+}_{0.4}\text{SiO}_4$]



U, 150 MeV/u



飛跡ごとのエッチングの進み具合(エッチング速度)から z を同定することができる

Nuclear charge spectrum from track analysis

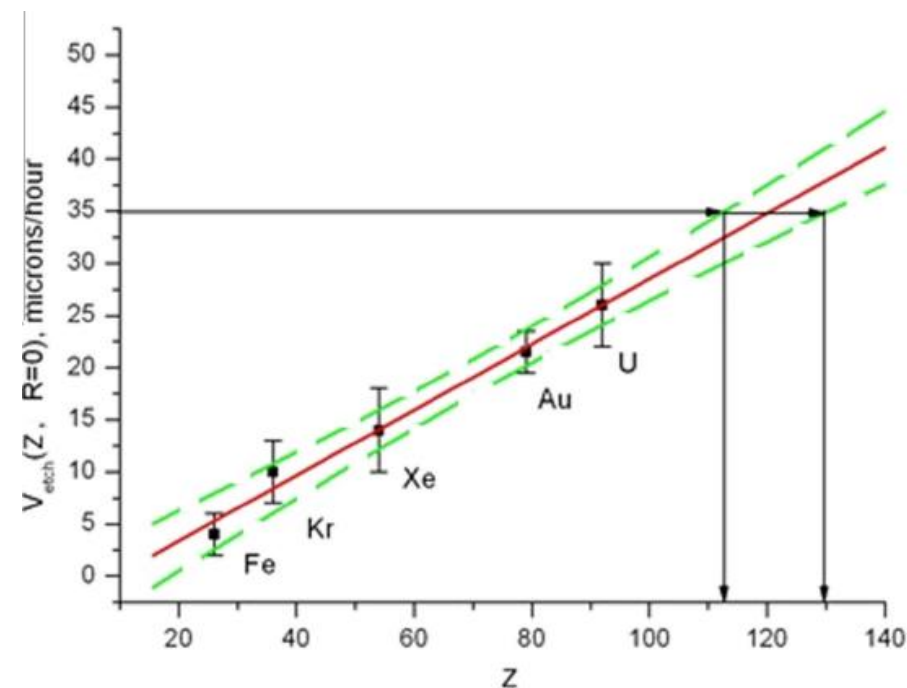
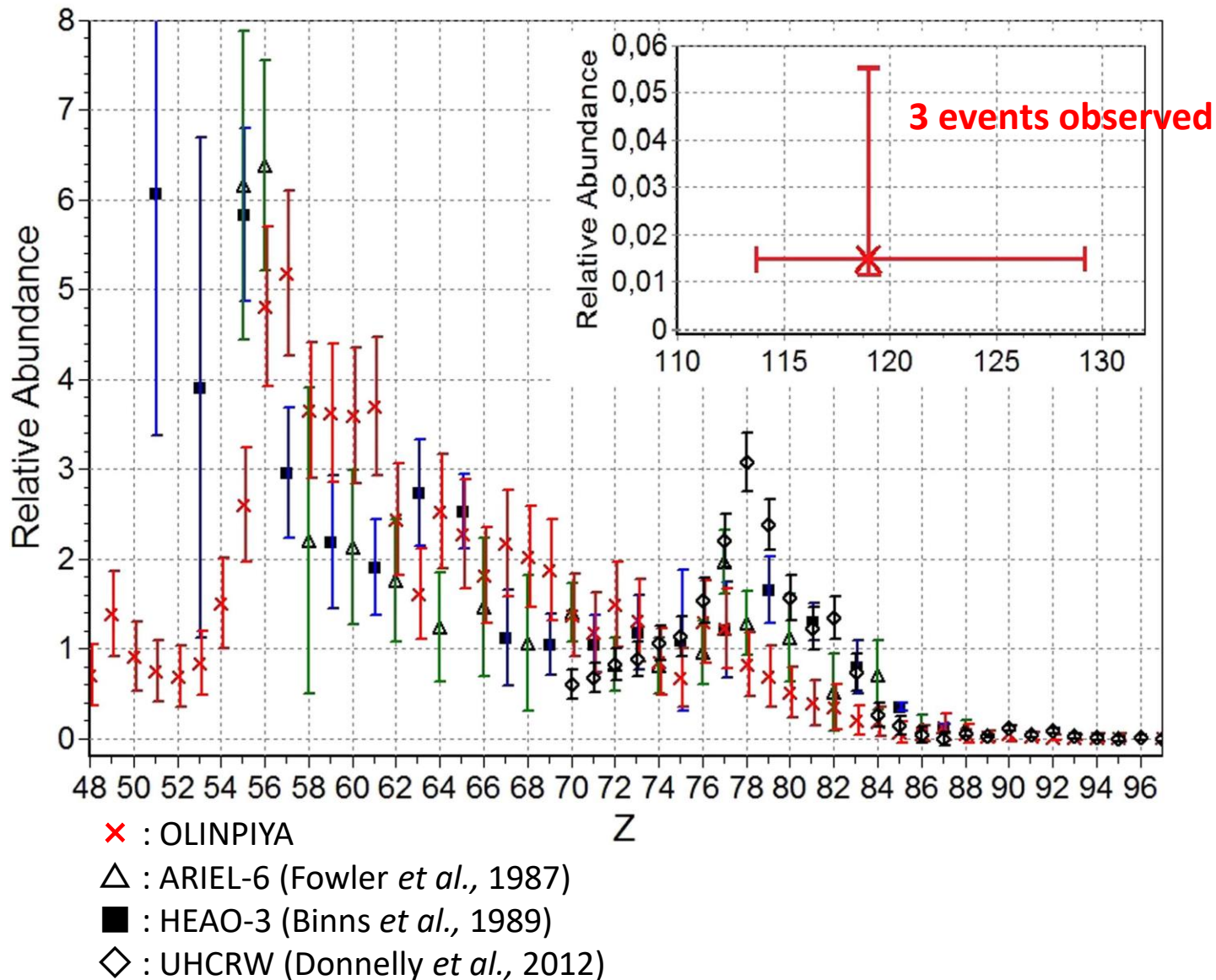


Table 2
Registered Events of Heavy and Superheavy Nuclei in Various Experiments

	Z Interval	Ariel 6 (1)	HEAO- 3 (2)	UHCRE (3)	OLYMPIYA	
1	$Z \geq 50$	412	362	—	10283	
2	$50 \leq Z \leq 58$	240	204	—	5612	
3	$60 \leq Z \leq 68$	84	34	—	2814	
4	$Z \geq 70$	88	62	2567	1233	
5	$70 \leq Z \leq 73$	29	10	—	715	
6	$74 \leq Z \leq 80$	29	42	—	449	
7	$81 \leq Z \leq 86$	27	10	—	59	
8	$88 \leq Z \leq 103$	3	0	35	9	
9	$Z \geq 92$	2	0	—	46	4

	1											18						
1	1 H 水素 1.008											2 He ヘリウム 4.003						
2	3 Li リチウム 6.941	4 Be ベリリウム 9.012											5 B ホウ素 10.81	6 C 炭素 12.01	7 N 窒素 14.01	8 O 酸素 16.00	9 F フッ素 19.00	10 Ne ネオン 20.18
3	11 Na ナトリウム 22.99	12 Mg マグネシウム 24.31	3	4	5	6	7	8	9	10	11	12	13 Al アルミニウム 26.98	14 Si ケイ素 28.09	15 P リン 30.97	16 S 硫黄 32.07	17 Cl 塩素 35.45	18 Ar アルゴン 39.95
4	19 K カリウム 39.10	20 Ca カルシウム 40.08	21 Sc スカンジウム 44.96	22 Ti チタン 47.87	23 V バナジウム 50.94	24 Cr クロム 52.00	25 Mn マンガン 54.94	26 Fe 鉄 55.85	27 Co コバルト 58.93	28 Ni ニッケル 58.69	29 Cu 銅 63.55	30 Zn 亜鉛 65.41	31 Ga ガリウム 69.72	32 Ge ゲルマニウム 72.64	33 As ヒ素 74.92	34 Se セレン 78.96	35 Br 臭素 79.90	36 Kr クリプトン 83.80
5	37 Rb ルビジウム 85.47	38 Sr ストロンチウム 87.62	39 Y イットリウム 88.91	40 Zr ジルコニウム 91.22	41 Nb ニオブ 92.91	42 Mo モリブデン 95.94	43 Tc* テクネチウム (99)	44 Ru ルテニウム 101.1	45 Rh ロジウム 102.9	46 Pd パラジウム 106.4	47 Ag 銀 107.9	48 Cd カドミウム 112.4	49 In インジウム 114.8	50 Sn スズ 118.7	51 Sb アンチモン 121.8	52 Te テルル 127.6	53 I ヨウ素 126.9	54 Xe キセノン 131.3
6	55 Cs セシウム 132.9	56 Ba バリウム 137.3	57-71 ランタノイド	72 Hf ハフニウム 178.5	73 Ta タンタル 180.9	74 W タングステン 183.8	75 Re レニウム 186.2	76 Os オスマニウム 190.2	77 Ir イリジウム 192.2	78 Pt 白金 195.1	79 Au 金 197.0	80 Hg 水銀 200.6	81 Tl タリウム 204.4	82 Pb 鉛 207.2	83 Bi* ビスマス 209.0	84 Po* ポロニウム (210)	85 At* アスタチン (210)	86 Rn* ラドン (222)
7	87 Fr* フランシウム (223)	88 Ra* ラジウム (226)	89-103 アクチノイド	104 Rf* ラザホージウム (267)	105 Db* ドブニウム (268)	106 Sg* シーボージウム (271)	107 Bh* ボーリウム (272)	108 Hs* ハッシウム (277)	109 Mt* マイタネリウム (276)	110 Ds* ダームスタチウム (281)	111 Rg* レントゲニウム (280)	112 Cn* コペルニシウム (285)	113 Nh* ニホニウム (284)	114 Fl* フレロビウム (289)	115 Mc* モスコビウム (289)	116 Lv* リバモリウム (293)	117 Ts* テネシン (293)	118 Og* オガネソン (294)

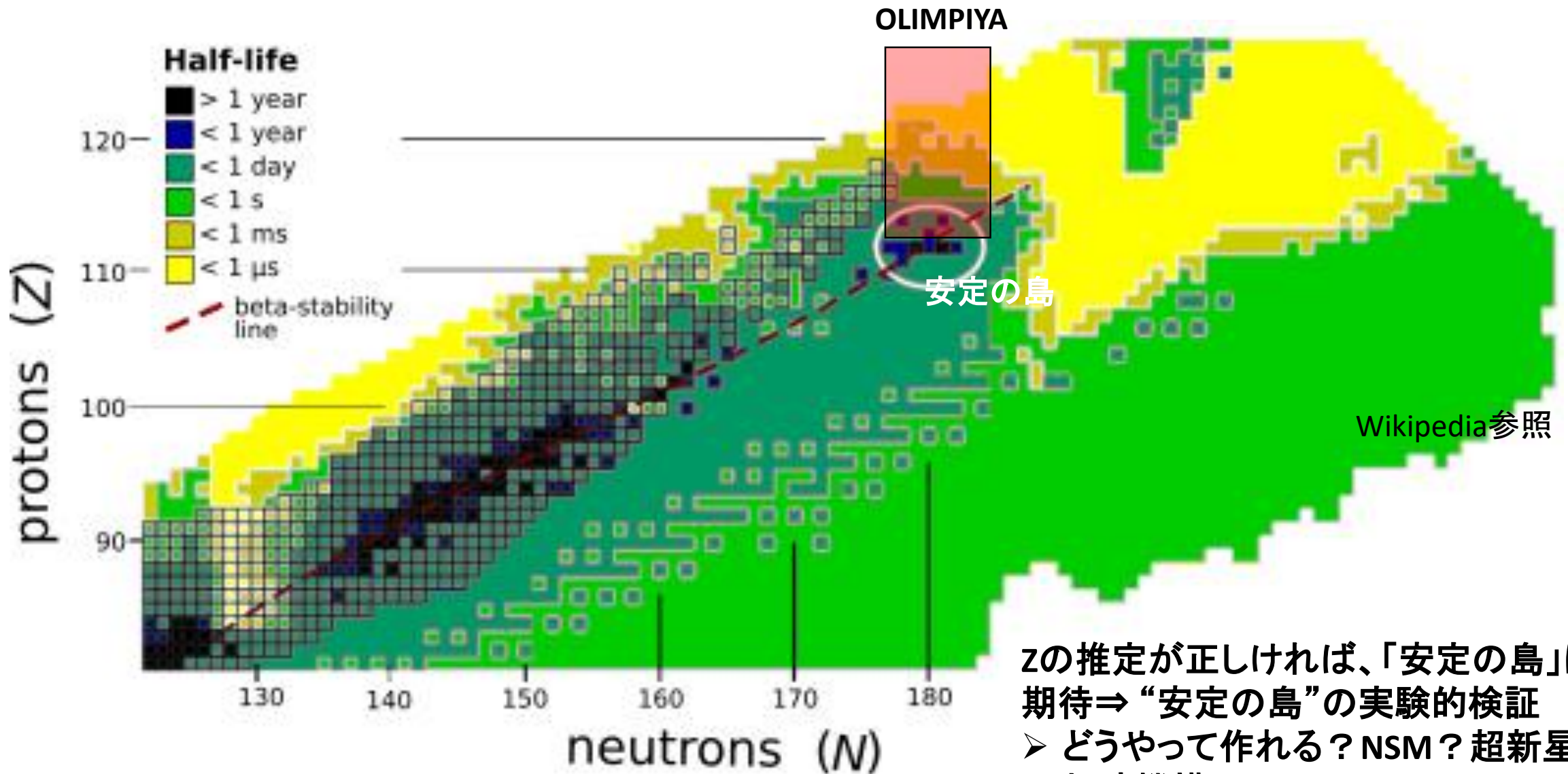
原子量
原子番号
元素記号
元素名

■ 典型金属 ■ 遷移金属
■ 非金属 ■ 希土類

ランタノイド
アクチノイド

57 La ランタン 138.9	58 Ce セリウム 140.1	59 Pr プラセオジウム 140.9	60 Nd ネオジウム 144.2	61 Pm* プロメチウム (145)	62 Sm サマリウム 150.4	63 Eu ユウロピウム 152.0	64 Gd ガドリニウム 157.3	65 Tb テルビウム 158.9	66 Dy ジスプロシウム 162.5	67 Ho ホルミウム 164.9	68 Er エルビウム 167.3	69 Tm ツリウム 168.9	70 Yb イットリビウム 173.0	71 Lu ルテチウム 175.0
89 Ac* アクチニウム (227)	90 Th* トリウム 232.0	91 Pa* プロトアクチニウム 231.0	92 U* ウラン 238.0	93 Np* ネプツニウム (237)	94 Pu* プルトニウム (239)	95 Am* アメリシウム (243)	96 Cm* キュリウム (247)	97 Bk* バークリウム (247)	98 Cf* カリホルニウム (252)	99 Es* アインスタイニウム (252)	100 Fm* フェルミウム (257)	101 Md* メンデレビウム (258)	102 No* ノーベリウム (259)	103 Lr* ローレンシウム (262)

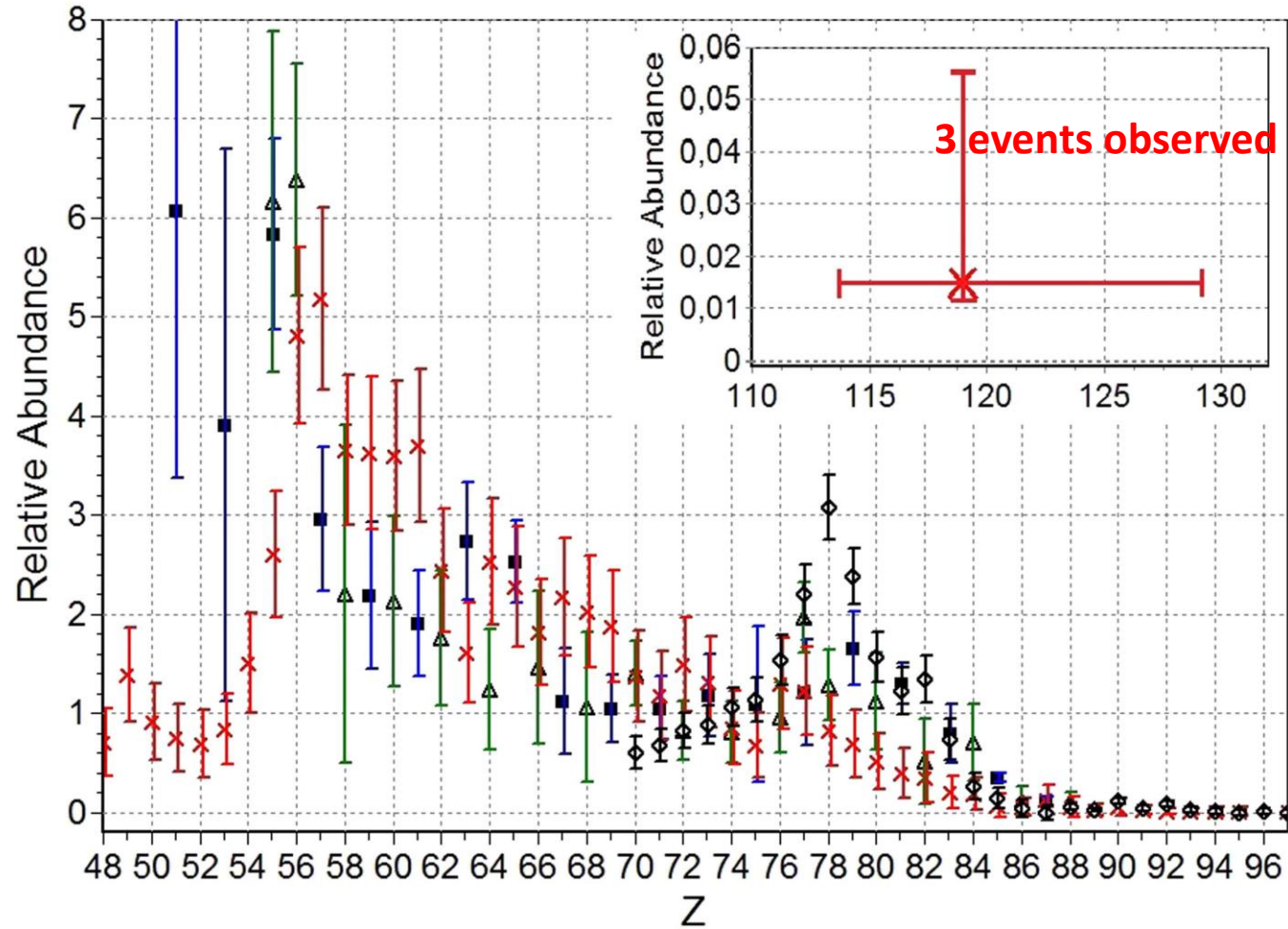
原子量として日本化学会原子量小委員会が作成した4桁の原子量を採用した。
安定同位体が存在しない元素には元素記号の右肩に*を付す。
天然で特定の同位体組成を示さない元素については、最もよく知られた質量数を括弧内に示す。



zの推定が正しければ、「安定の島」にあると期待⇒“安定の島”の実験的検証

- どうやって作れる？ NSM？ 超新星？
- 加速機構は？

Nuclear charge spectrum from track analysis



- × : OLINPIYA
- △ : ARIEL-6 (Fowler *et al.*, 1987)
- : HEAO-3 (Binns *et al.*, 1989)
- ◇ : UHCRW (Donnelly *et al.*, 2012)

■ UHCRW (ApJ, 747:40, 2012)

Detector : LDEFに搭載したsolid track detector (polycarbonate)

Exposure : 170 m²sryear (5.8 year)

■ Ariel 6 (ApJ, 314-739-746, 1987)

Detector : Spherical gas scintillator + Cherenkov detector

Exposure : 1.7 m²sryear

■ HEAO-3 (ApJ, 346: 997-1009, 1989)

Detector : Ionization chamber + cherenkov detector

Exposure : 6 m²sryear

OLIMPIYA case

Analyzed area : (probably) > 10 mm²

Exposure time : Gyear scale

> 10⁴ m²sryear

宇宙史の記録を保持。本質的に異なるデータ

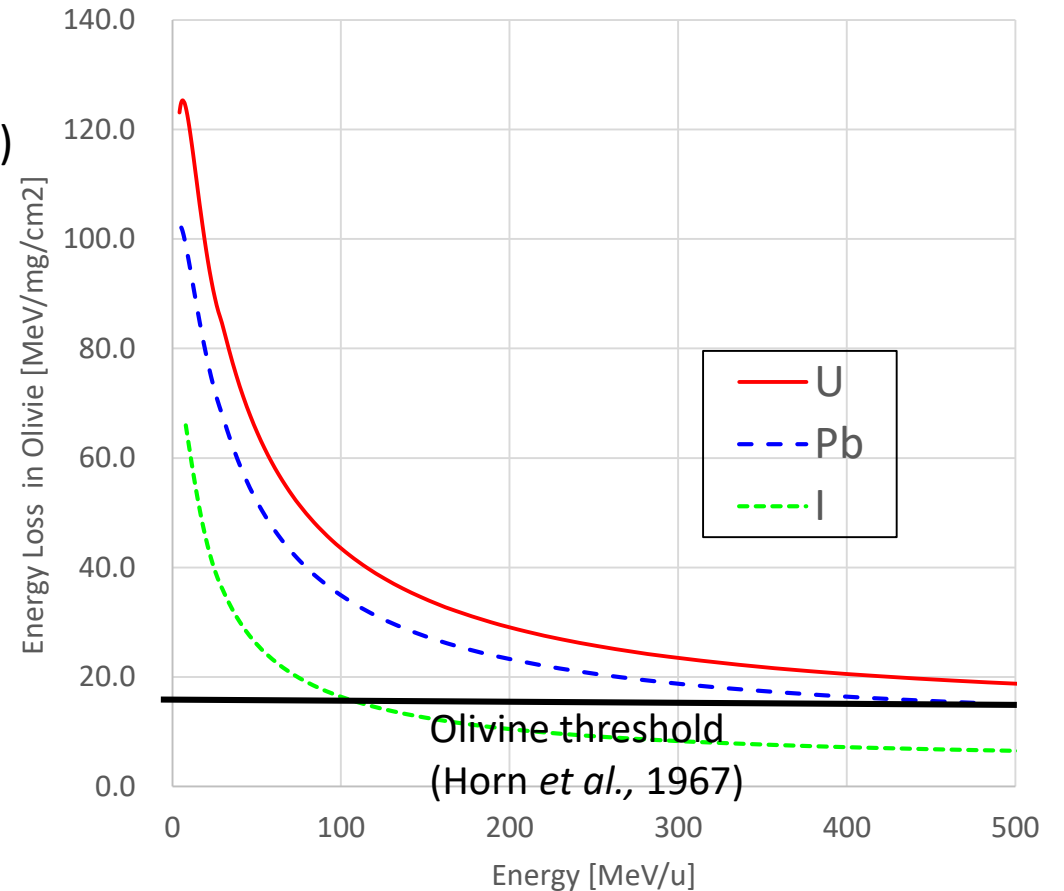
Detectable Energy for Olivine

Mean free path in the space : $1/(\sim 10^{-24} \text{ cm}^2 \times 6.5 \times 10^{-3} \text{ atom/cm}^3)$
Hot ionized gas density
 $= \sim 10^{28} \text{ cm} \sim 100 \text{ MPc}$

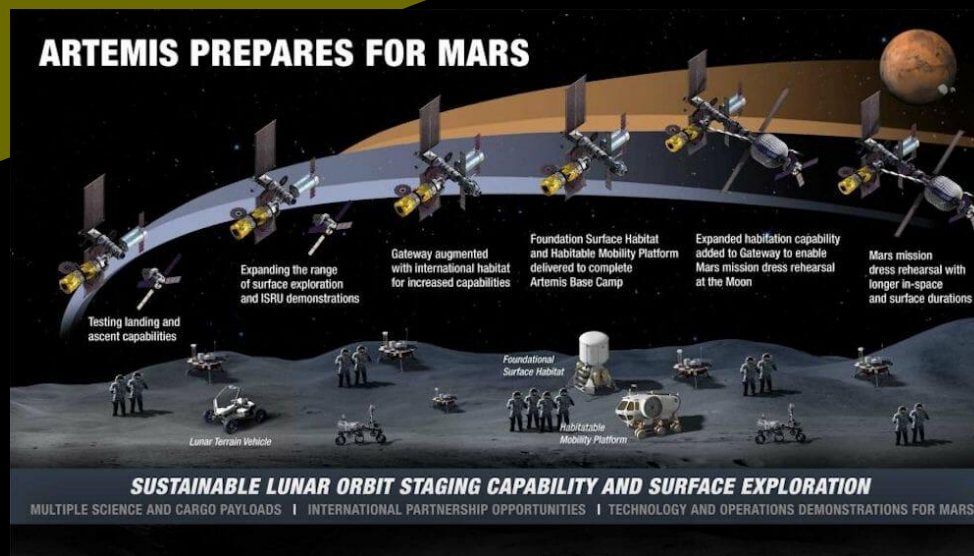
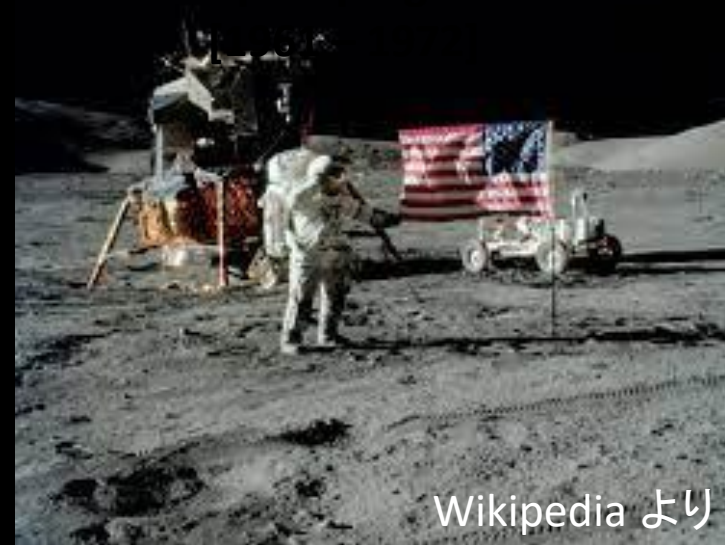
連星中性子合体：銀河系内で100万年に10-20回程度(?)
超新星：銀河内で100年に1-2回(?)

Incident ion energy is expected to have
O(10-100) MeV/u for heavy nuclei such as U, Pb...

➡ 超重元素生成+加速メカニズムにおける重要な情報



月面探査プロジェクト



月面の鉱物・レゴリス

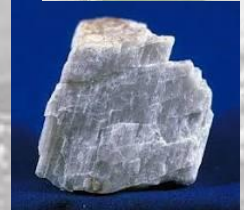
輝石(Pyroxene, $(Mg,Fe,Ca)_2Si_2O_6$)



かんらん石(Olivine, Mg_2SiO_4)



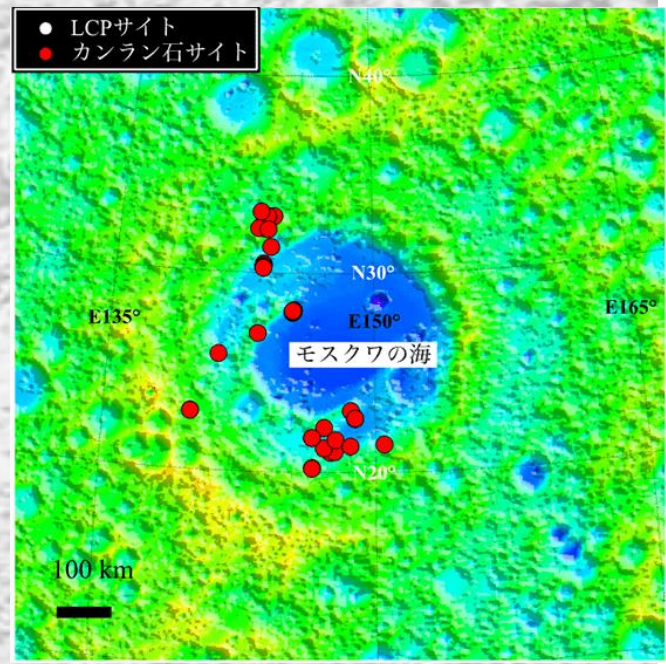
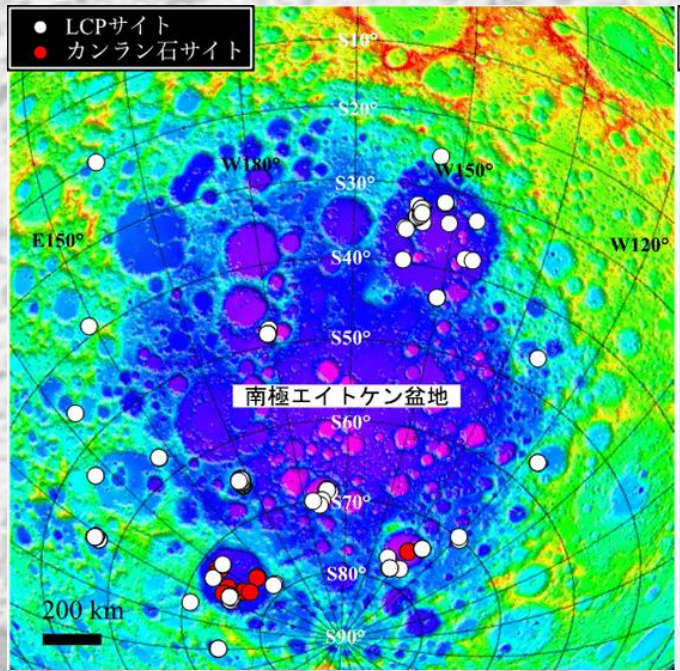
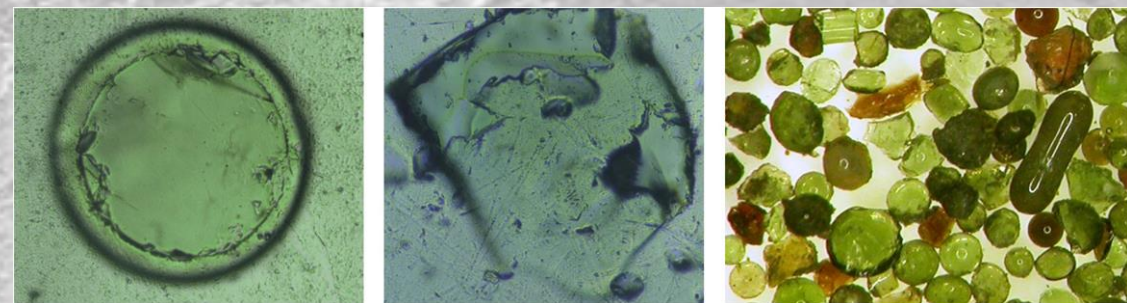
斜長石(Plagioclase, $NaAlSi_3O_8$)



イルメナイト(Ilmenite, $FeTiO_3$)



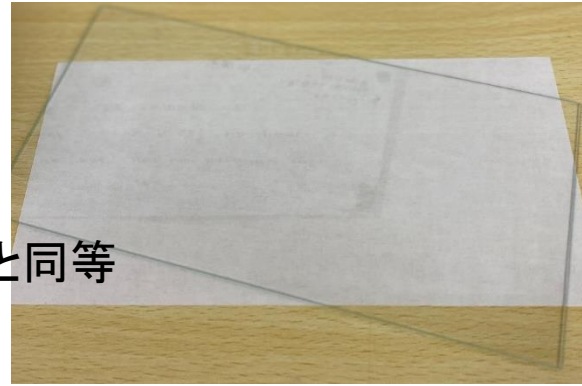
インパクトガラス



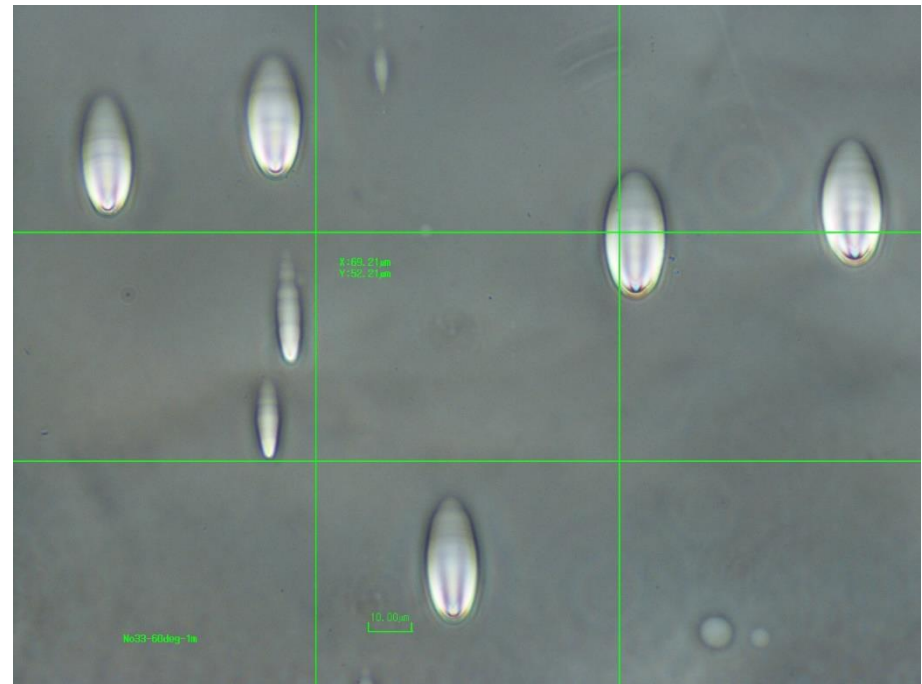
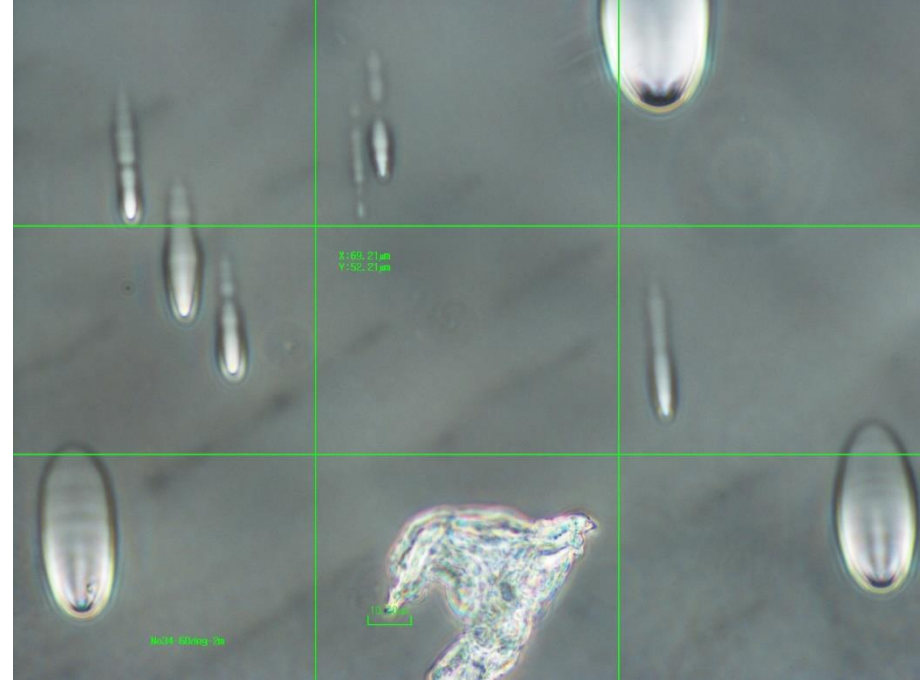
「かぐや」スペクトルデータより
<https://www.isas.jaxa.jp/home/research-portal/gateway/2023/0608/>

人工ガラス

硬度の面から、インパクトガラスと同等
と考えてよい



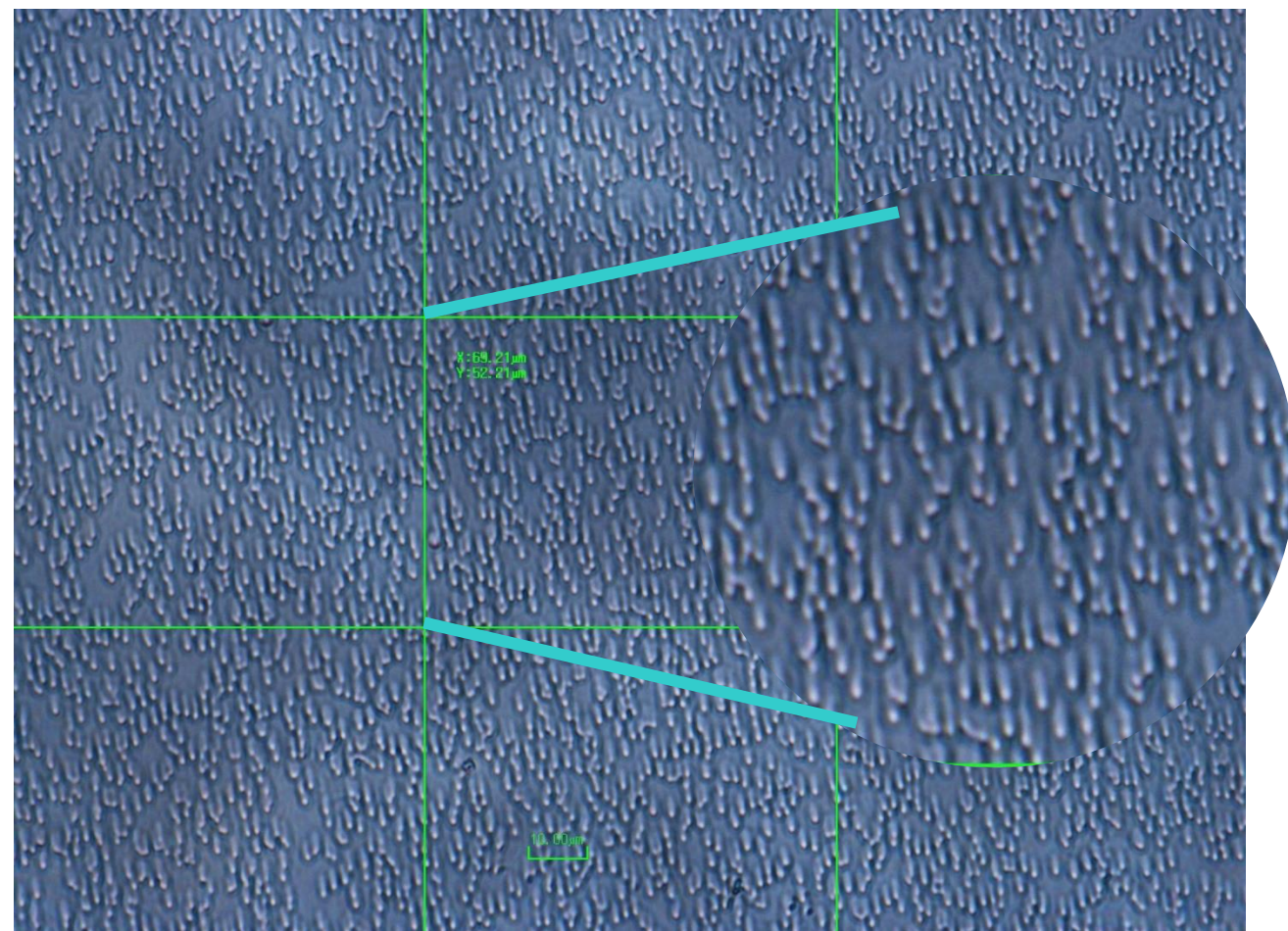
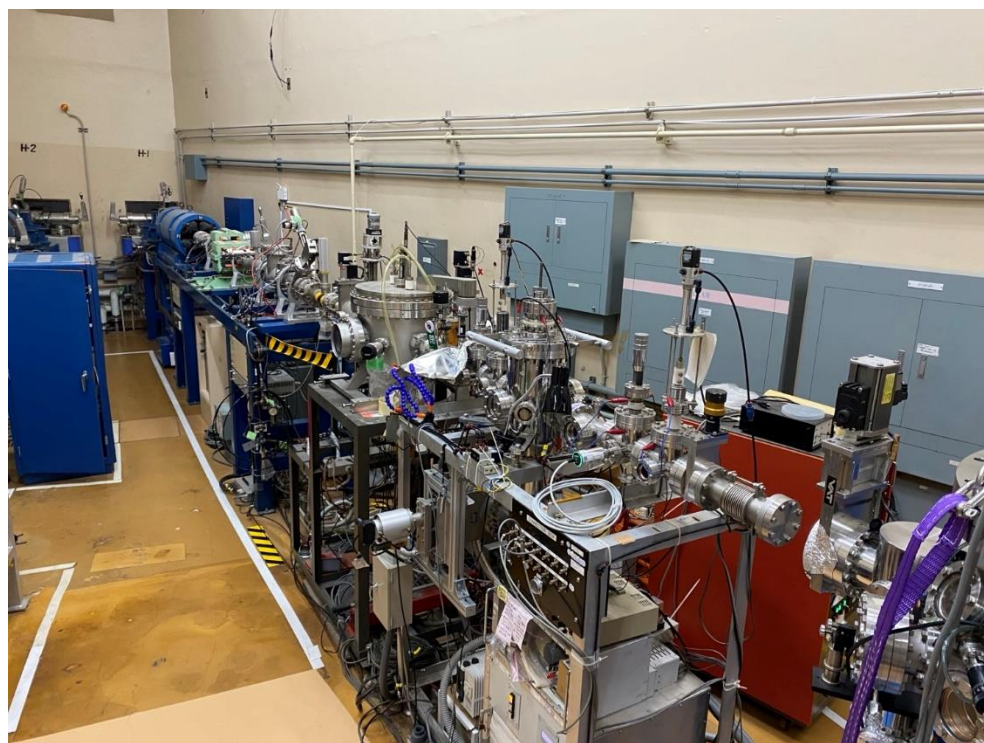
Xe ion [38 GeV (275 MeV/u)]
@ HIMAC, QST (量子科学技術研究開発機構)



原子力研究開発機構・タンデム加速器

Ion 核種: ^{6+}Fe

エネルギー: 70 MeV



飛跡形成閾値 > 30-35 MeV/mg/cm²であることを確認

Conclusion

Paleo Detector with ancient mineral Direct detection of Cosmic ray for Geological time scale

✓ Neutrino

→ 過去の超新星ニュートリノの情報 : コヒーレント散乱による原子核反跳

✓ Dark Matter

→ WIMP探索 : 原子核反跳の深さ分布によるイベント識別
→ 超重暗黒物質 (e.g., Q-ball, quark nugget, monopole)

➡ 白雲母中のlong track + 光学顕微鏡システムによる探索感度の劇的向上

✓ Cosmic ray

→ 超重元素 (e.g., 超ウラン元素) の生成と加速

➡
・月面試料
・小惑星・隕石試料

すでに興味深いトラックを検出
⇒ 要検証 + さらなる感度向上が必須

数億年以上に渡る宇宙
記録媒体を探る